



appunti
www.centroappunti.it

Corso Luigi Einaudi, 55 - Torino

Appunti universitari

Tesi di laurea

Cartoleria e cancelleria

Stampa file e fotocopie

Print on demand

Rilegature

NUMERO: 1286

ANNO: 2014

APPUNTI

STUDENTE: Massa

MATERIA: Idraulica, Prof. Revelli

Il presente lavoro nasce dall'impegno dell'autore ed è distribuito in accordo con il Centro Appunti. Tutti i diritti sono riservati. È vietata qualsiasi riproduzione, copia totale o parziale, dei contenuti inseriti nel presente volume, ivi inclusa la memorizzazione, rielaborazione, diffusione o distribuzione dei contenuti stessi mediante qualunque supporto magnetico o cartaceo, piattaforma tecnologica o rete telematica, senza previa autorizzazione scritta dell'autore.

ATTENZIONE: QUESTI APPUNTI SONO FATTI DA STUDENTI E NON SONO STATI VISIONATI DAL DOCENTE.
IL NOME DEL PROFESSORE, SERVE SOLO PER IDENTIFICARE IL CORSO.

IDRAULICA

Def

FLUIDO: Corpo materiale, a causa della mobilità delle particelle che lo compongono, può subire variazioni di forma sotto l'azione di forze di resistenza.

Aumentando la dimensione del campione la massa rimane costante

di forze di resistenza

trascurabili se le velocità con cui le espanderà le deformazioni tende ad annullarsi.

FLUIDO CONTINUO
Si associa alla proprietà di continuità

MECANICA
DEI FLUIDI.

$$\left[\gamma = g \rho \right]$$

\downarrow
 N
 m^3

\downarrow
 Kg
 m^3

Le nostre caratteristiche non dipendono dalla temperatura

$$\rho = f(p, T) \Rightarrow \text{EQUAZIONE DI STATO}$$

↑
PRESSURE

↑
TEMPERATURA

Fluido è un sistema continuo, fatta eccezione per speciali punti, linee o superfici di discontinuità.
Particella fluida è una porzione di fluido di dimensioni scelte durante un intervallo di tempo Δt intorno ad un certo istante t corrispondono certi valori di densità, velocità, pressione.

Sistemi Continui - 2 tipi di forze

Cioè ci fa capire che atti bisogna comprendere come si muore il fluido - legge tra fluido e atti

Forze di massa (forze esterne su tutte le particelle del sistema)
Forze di superficie V
Forze esercitate su varie parti qualsiasi del sistema continuo attraverso la sua superficie di controllo.
Forza per unità di massa \rightarrow FORZAN.
GRAVITÀ
a cui corrisponde il peso delle masserelle fluida.

Abbiamo un volume V di fluido in condizioni di equilibrio sotto l'azione delle forze di massa e delle forze che agiscono sulla superficie di controllo.

Dividiamo in 2 parti affinché ciascuna delle 2 porzioni sia ancora in condizioni di equilibrio MEDIANTE SUP A
è necessario esercitare sulle sup di separazione A un complesso di forze che costituisca l'azione che le particelle di una delle due porzioni esercitano sull'altra.

Forze sull'intera Superficie A: da elemento infinitesimo di superficie nell'intorno del generico punto M di A, si osserva che la forza agenti su dA è riconducibile a dII

$\phi = \frac{dF}{dA} \Rightarrow$ EFFORZO UNITARIO (scizzo) → orientato su dA dipende dalla posizione del punto M, sia dalla giacitura dell'elemento dA al quale è applicato.

Per mettere in evidenza quest'ultimo fatto si usa per riferimento al versore normale n all'elemento dA e si adotta perciò il simbolo ϕ_n per indicare lo sforzo che agisce su dA.

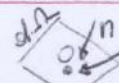
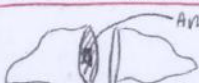
Sforzo → dimensioni → FORZA PER UNITÀ DI AREA → MODULO espresso in $\frac{Kg}{m^2}$

Sforzi elementari positivi
Sforzi elementari negativi

Forza elementare agente su dA può scriversi

$$dF = \phi_n dA \quad ed \text{ ad esse viene assegnato}$$

il nome di SPINTA elementare su dA



dF (forza sull'elemento)

$$\lim_{dA \rightarrow 0} \frac{dF}{dA} = \vec{\phi}_n \frac{N}{m^2}$$

$$\int_A \vec{\phi}_n dA = \vec{F}$$

GENERALIZZAZIONE SULL'INTERA SUPERFICIE A.

→ SUI PIANI PRINCIPALI DOVE RUOTANO x, y, z oltre le τ_x, τ_y, τ_z sono nulli, siamo TANGENZIALI.

→ LA TRACCIA somma dei valori nelle diagonali $[\sigma_x + \sigma_y + \sigma_z = 3S]$

→ Come faccio a ruotare il mio sistema di riferimento, le τ rimangono nulli allo stato di sforzo e ISOTROPO! $[\sigma_x = \sigma_y = \sigma_z = S]$
↓
↳ PRESSIONE

Il mio tensore di sforzo è la pressione di natura isotropa

$$\sigma_x = \sigma_y = \sigma_z = p$$

In sistema è ISOTROPO quando le τ sono zero! quando il liquido è FERMO cioè quando il punto è fermo quando la direzione è costante (FLUIDO FERMO) rispetto al suo punto di riferimento quindi per la STATICA DEI FLUIDI:

$$P = p(x, y, z, t) \rightarrow \text{è MOSACRANE indipendente dalla GRATURA}$$

ma perché lo stato è ISOTROPO

$$\begin{vmatrix} P & 0 & 0 \\ 0 & P & 0 \\ 0 & 0 & P \end{vmatrix} \rightarrow \text{TENSORE PER LA STATICA}$$

STATO degli SFORZI
IN UN SISTEMA ISOTROPO.

$$P = p(x, y, z, t) \rightarrow \text{PERO' E' UNA EQUAZIONE DIFFERENZIALE}$$

DENSITÀ e PESO SPECIFICO

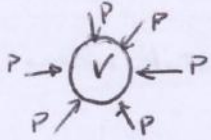
$$\rho = \frac{kg}{m^3}$$

$$\gamma = \frac{N}{m^3}$$

$$\Rightarrow \text{tra le 2 prendiamo } \gamma = \rho g \text{ essendo } g \text{ il modulo}$$

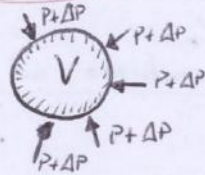
dell'accelerazione di gravità $g = 9,81 \text{ m/s}^2$

sono funzioni di pressione p e temperatura θ $P = P(P, \theta)$ EQUAZIONE DI STATO



Volume V del fluido è FERMO

Si incrementano le pressioni di ΔP



Il corpo si riduce di ΔV proporzionale a ΔP , a questo ed al materiale

$$\Delta V = -\frac{\Delta P \cdot V}{E} \rightarrow \frac{dV}{V} = -\frac{dP}{E}$$

COMPATIBILITÀ: Qualsiasi fluido modifica il suo volume (quindi la sua densità) al variare delle pressioni alla quale esso è sottoposto → questo fenomeno assume aspetti differenti: a seconda del fluido o del gas

$E = \text{MODULO DI COMPATIBILITÀ}$ (capacità del materiale a comprimersi) si misura in N/m^2 $\Rightarrow E [N/m^2]$
e' tanto maggiore quanto più il materiale si oppone alle modifiche.

$m = p \cdot V = \text{costante} \Rightarrow$ il suo differenziale è pari a zero.

$$dm = pdV + Vdp = 0$$

$$\frac{dV}{V} = -\frac{dp}{p} \Rightarrow \frac{dV}{V} = -\frac{dp}{E} = -\frac{dp}{\rho} \xrightarrow{\text{PRESSURE}}$$

E dell'acqua è pari a $2 \cdot 10^9 N/m^2$ \Rightarrow troppo SUFFICIENTEMENTE GRANDE.

$$\frac{dp}{E} = \frac{dp}{\rho}$$

EQUAZIONE DI STATO

MATERIALE INCOMPATIBILE $\Rightarrow E = \infty$

\Rightarrow abbiamo considerato l'acqua come un materiale incompatibile
 \Rightarrow MECCANICA DEI FLUIDI INCOMPATIBILI $[c = \sqrt{\frac{E}{\rho}} = \text{Celerità}]$

$$c = \sqrt{\frac{E}{\rho}} = \text{CELERITÀ}$$

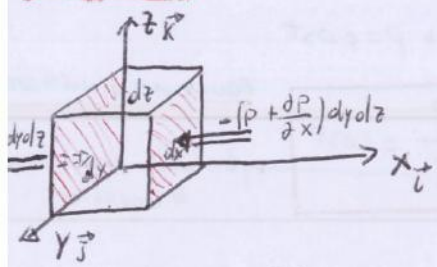
STATICA dei FLUIDI: Nei fluidi in quiete le zuppe particelle non subiscono alcun spostamento relativo \rightarrow EQUILIBRIO ASSOLUTO rispetto ad una rete fissa, sia nel caso che il fluido venga immobile rispetto ad una rete di assi mobili \rightarrow EQUILIBRIO RELATIVO. Non ci sono deformazioni delle massa fluida, gli spazi interni non ammettono componenti tangenziali e sono perciò diretti normalmente all'elemento. Se gli spazi ammettono ulteriori componenti normali, indicate con n la componente normale dello spazio su cui agisce sull'elemento di normale n si ha:

$$\begin{aligned} \sigma_{nx} &= \sigma_n \cos \hat{x} = \sigma_x \cos \hat{x} & \text{quindi: } [\sigma_x = \sigma_y = \sigma_z = \sigma_n]. \\ \sigma_{ny} &= \sigma_n \cos \hat{y} = \sigma_y \cos \hat{y} \\ \sigma_{nz} &= \sigma_n \cos \hat{z} = \sigma_z \cos \hat{z} \end{aligned}$$

Così significa che lo spazio in un generico punto di un fluido in quiete è diretto normalmente all'elemento di superficie sul quale si esercita, ha modulo indipendente dall'orientamento parallelo per il punto stesso.

Pressione P nel generico punto di massa fluida in quiete il numero dello spazio nel punto stesso.

STATO DI SPAZIO quando si conosce la distribuzione delle pressioni nella massa fluida



Dalle meccaniche NEWTONIANA dei sistemi continui si dice esistere INDEFINITA UNA RELAZIONE (cinematica o dinamica) fra posizioni e accelerazioni dell'equilibrio e il moto.
Il mio cubetto è FISSO:

Sul mio cubetto (elemento infinitesimo di volume) agiscono:

- FORZE DI MASSA (proporzionale alla massa) risultante delle forze agenti sul volume, indicata con F . La forza di massa per unità di massa (il modulo di F sarà però espresso in $N/m^3 z$). Val: $\rho F dx dy dz$

campo di forze di massa (gravitazionale)

- FORZE DI SUPERFICIE trasmesse attraverso l'intera superficie di contorno del volume sulla massa fluida in essa contenuta; fattondosi sul fluido in quiete tali forze sono orunque dirette normalmente alla superficie. Bisogna pre le risultanze delle facce parallele a due a due e normale agli assi x, y, z :

rispetto a:

$$\vec{i} \Rightarrow p dy dz - \left(P + \frac{\partial P}{\partial x} dx \right) dy dz = - \frac{\partial P}{\partial x} dx dy dz$$

$$\vec{j} \Rightarrow p dx dz - \left(P + \frac{\partial P}{\partial y} dy \right) dx dz = - \frac{\partial P}{\partial y} dx dy dz$$

$$\vec{k} \Rightarrow p dx dy - \left(P + \frac{\partial P}{\partial z} dz \right) dx dy = - \frac{\partial P}{\partial z} dx dy dz.$$

La risultante di tutte le forze superficiali: $- \left(\frac{\partial P}{\partial x} \vec{i} + \frac{\partial P}{\partial y} \vec{j} + \frac{\partial P}{\partial z} \vec{k} \right) dx dy dz \Rightarrow - g \rho dx dy dz$

Per l'equilibrio del volume infinitesimo deve essere nulla la risultante delle due forze: $\rho F dx dy dz = g \rho dx dy dz$

$$\rho F = g \rho dP$$

EQUAZIONE INDEFINITA DELLA STATICA dei FLUIDI

(indica che la pressione cresce nel verso delle forze di massa)

La pressione in un punto vale: $P = P_{ATM} + \gamma \cdot \Delta$ (avasiati punti)

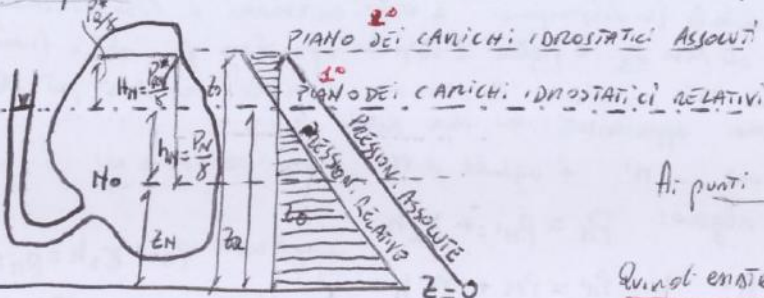
Lo L'AFFONDAMENTO DEL PUNTO

$$P^* = P - P_{ATM}$$

(calcolare in termini relativi perché la pressione atmosferica c'è sempre)

dove c'è la pressione relativa uguale a zero è il **PIANO DEI CARICHI IDROSTATICI RELATIVI** dove, quindi, la pressione relativa è pari al peso specifico per l'affondamento del punto di quel piano.

Consideriamo un qualsiasi recipiente con liquido di peso specifico γ e sia P_N^* pressione assoluta nel punto N di quota z_N e ammettiamo che essa sia maggiore di quelle atmosferica:



ai punti con quota $z > z_N$ pressioni inferiori a quella del punto N

Quindi esiste un piano orizzontale di quota z_B sul quale le pressioni sono maggiori di quelle atmosferiche P_A^* . Tale quota z_B si ricava:

$$z_B = z_N + \frac{P_N^* - P_A^*}{\gamma}$$

questo è il **PIANO DEI CARICHI IDROSTATICI RELATIVI**:

verso l'alto c'è invariabilmente collegando le recinzioni UN TUBO superormente in collegamento con l'atmosfera. entro di esso il liquido si innalza fino a z_B , perché nelle superficie libere rige la press. atmosferica. Punti con quota superiore a z_B la pressione è inferiore a quelle atmosferiche e si P_A^* .

può individuare un piano a quota $(z_B = z_N + P_N^*)$ questo piano è il piano dei carichi idrostatici assoluti. farebbe corrispondere alla superficie libera del fluido contenuto nel recipiente e al di sopra di essa dovrebbe avere il vuoto, i fluidi non entrano a forza di trazione e quindi non sono assoggettati a pressioni assolute negative.

la superficie libera non coincide esattamente con il piano dei carichi idrostatici assoluti, ma di fatto a quota inferiore, lo spazio al di sopra di essa risultò essere occupato dai vapori del liquido, con una certa tensione di vapore. La distanza fra i due piani vale: $(z_B - z_A = P_A^*)$ corrisponde alla pressione atmosferica (es. acqua $P_A^* = 102.000 \text{ Pa}$ $\gamma = 9.806 \text{ N/m}^3$ vale $10,33 \text{ m}$; mercurio $\gamma = 133.000 \text{ N/m}^3$ risulta $0,76 \text{ m}$).

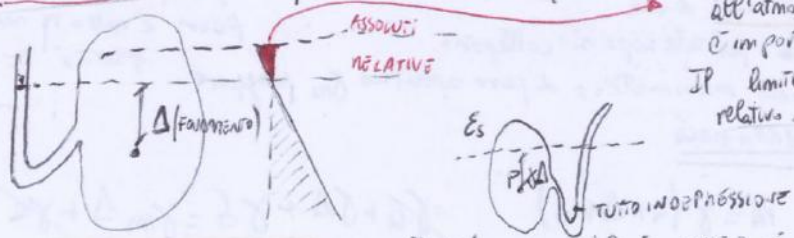
il recipiente aperto espone al problema la pressione atmosferica comune con il piano dei carichi idrostatici relativi.

CASI PARTICOLARI → trattazione dei problemi pratici si riferisce alle pressioni relative anziché a quelle assolute come fatto sopra, intendendosi per pressione relativa P la differenza fra la pressione assoluta e quelle atmosferiche

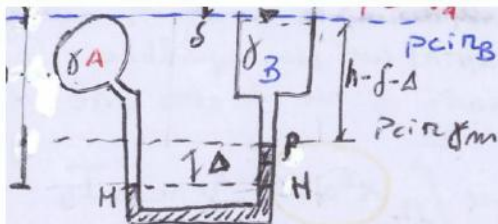
$$P = P^* - P_A^*$$

quindi ci possono essere pressioni relative negative (cioè inferiori all'atmosferica) denominate **depressioni**; quindi è importante trovare il piano dei carichi idrostatici relativi.

Il limite di depressione relativa è lo **carico idrostatico** relativo. (Es. Acqua in montagna spaziale).



l'impiego delle pressioni relative nello studio dei problemi pratici è collegato al fatto che di norma i fenomeni si verificano sotto immersi nell'atmosfera → conoscere esattamente le spinte derivanti dalla differenza fra pressioni assolute e quella atmosferica. Ad esempio: la spinta su una qualsiasi parte della parete di un recipiente contenente fluido è pari alla differenza fra la spinta assoluta del fluido e quelle esterne dentro alla pressione atmosferica, cioè alla risultante degli sforzi esercitati dalle varie pressioni relative.



$$P_H = \gamma \cdot h = P_N = P_P + \Delta \gamma_m = \gamma (h - f - d) + \Delta \gamma_m$$

$$\delta = \Delta \frac{\gamma_m - \gamma}{\gamma}$$

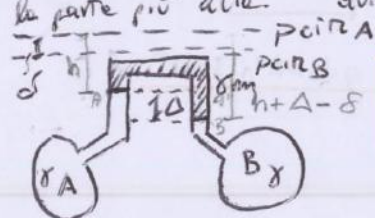
Il distribollo è dunque deducibile dalla sola lettura manometrica Δ indipendentemente dalla quota del punto dei carichi idrostatici.

Inoltre si può avere il caso in cui A e B (tra piani) abbiano peso specifico γ_1, γ_2 differenti: si ottiene la formula

$$\delta = \Delta \frac{\gamma_m - \gamma_2}{\gamma_2} + h \frac{\gamma_2 - \gamma_1}{\gamma_2}$$

in essa compare l'affondamento h di un mercisso nello stesso piano dei carichi idrostatici, il manometro non potrebbe in questo caso, darsi differenziale.

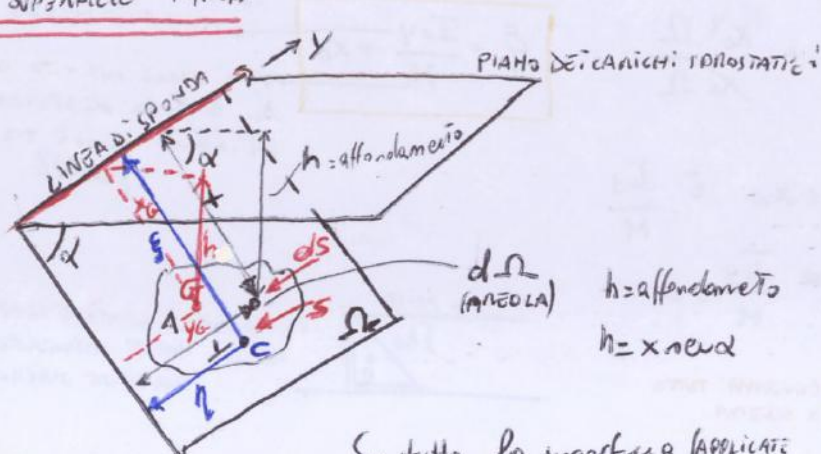
Avolti può essere utilizzato un liquido P_{mer} peso specifico inferiore a quello dei fluidi. In tal caso è necessario capovolgere il tubo colto, nel quale il liquido manometrico occuperà la parte più alta. Quindi:



$$\delta = \Delta \frac{\gamma - \gamma_m}{\gamma}$$

CALCOLO DELLE SPINTE

SPINTA SU SUPERFICIE PIANA



$$S = \int_{\Omega} \vec{P} d\Omega = \int_{\Omega} \vec{\gamma} h d\Omega = \int_{\Omega} \vec{\gamma} x \sin \alpha d\Omega =$$

$$\vec{S} = \vec{n} \int_{\Omega} P d\Omega = \vec{n} \int_{\Omega} \gamma h d\Omega = \vec{n} \int_{\Omega} \gamma x \sin \alpha d\Omega =$$

$$= \vec{n} \gamma \sin \alpha \int_{\Omega} x d\Omega \rightarrow \text{MOMENTO STATICO DELLA SUP. RISPELTO ALLA LINEA DI DISPOSIZIONE}$$

$M = x_0 \cdot \Omega$

$$= \vec{n} \gamma \sin \alpha M = \vec{n} \gamma \sin \alpha x_0 \cdot \Omega = [\vec{n} \gamma \Omega h_0]$$

AFFONDAMENTO RELATIVO
IL PIANO DI LANCHE
IDROSTATICI RELATIVI

DIREZIONE SPINTA
E' MONTANTE (FORZA E NORMALI ALLA SUP.)

MODULO = PRESSIONE PER IL BARICENTRO PER L'AREA
dipende dalla posizione di P_{bar} ; se sono sotto P_{bar} sono
positivi, quindi verso all'interno la superficie se separare al di fuori la superficie

Liquido manometrico in tubo di TOLCADO ($\gamma_m = 8530 \frac{N}{m^2}$)

Diff. piezometrica di piccolo.

- $\Delta \rightarrow$ è sempre tanto più grande quanto più profonda sono i valori dei due pesi specifici γ e γ_m .

- tubo a notevole profondità come fluido manometrico quindi $\delta = \Delta$

Si consideri una qualsiasi superficie presente su un piano inclinato di α sull'orizzontale.

Si calcolino con un liquido γ le spinte elementari dS che agiscono su $d\Omega$ (elemento infinitesimo sup. fronte) vale:

$$dS = \vec{P} d\Omega$$

$$[\vec{P} = \gamma \cdot h]$$

La montante è sempre uguale sul piano orizzontale superfi ci curva perché tutti i punti hanno la stessa normale.

MOMENTO = FORZA X BRACCIO

Facciamo la sommatoria di tutte le componenti elementari esiste all'intera superficie curva cioè:

$$S_x = \int_{\Omega_x} p d\Omega_x = \gamma h_x \Omega_x \quad (6)$$

$$S_y = \int_{\Omega_y} p d\Omega_y = \gamma h_y \Omega_y \quad (6)$$

$$S_z = \int_{\Omega_z} p d\Omega_z = \gamma h_z \Omega_z = \gamma W \quad (7)$$

VOLUME
W

È UN PESO
che l'acqua sta
sopra fino al
punto

→ cioè le spinte orizzontali aperte su Ω_x e Ω_y (cioè S_x , S_y) sui punti y_z e x_z aventi per normali gli assi x e y ; con h_x e h_y si sono moltiplicati gli affondamenti dei baricentri delle due superfici Ω_x e Ω_y sotto il piano di spina (cioè S_x e S_y applicati in ciascuna spina) e verso le 2 fontezionizzate.

C'è anche un altro modo:

$$\vec{F} = g \text{ grad } p \quad (\text{FORZA LOCALE})$$

VALE PUNTO PER PUNTO

$$\int_W \vec{p} \vec{F} dW = \int_W g \text{ grad } p dW$$

ASSA SPECIFICA X ACCELERAZIONE
DEI FORZI

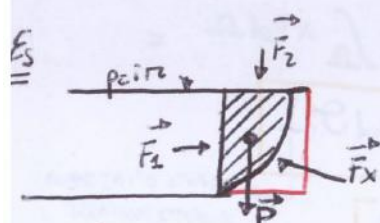
PESO \vec{P}

$$\int_W \vec{p} \vec{F} dW = - \int \vec{p} \vec{n} d\Omega \quad (\text{FORMA GLOBALE}) \quad (\text{vale per il})$$

$$[\vec{P} + \vec{F}_c = 0]$$

CAMPIONE DI FORZE

BISOGNA MIGLIORARSI SUL VOLUME → cioè la spinta del volume sulle superficie



Quindi [È IMPORTANTE LA SCelta DEL VOLUME]

$$\begin{aligned} E_s &= \frac{p_{\text{atm}}}{l} \quad \text{per la parte superiore} \\ &\quad \vec{F}_1 = \gamma l^2 Q \quad \text{ARROTONDIMENTO} \\ &\quad \vec{F}_2 = \gamma l^2 (a+l) \\ &\quad \vec{F}_2 - \vec{F}_1 = \gamma l^2 a + \gamma l^3 - \gamma l^2 a = \gamma l^3 \end{aligned}$$

→ le componenti S_z è uguale al volume W

di fluido costituito dalla colonna cilindrica

verticale limitata da una parte

delle superficie curve e dall'altra

del piano dei vari circolatori relativi.

Inoltre è la risultante delle componenti $dS_z = \gamma h d\Omega_z$ equivalenti al peso delle colonne di fluido trasversale $d\Omega_z$ altezza h

Se pone per il baricentro del volume W

• Def. di gravità:

$$\int_W \text{quadrilatero} = \int_W \left(\frac{\partial p}{\partial x} \hat{x} + \frac{\partial p}{\partial y} \hat{y} + \frac{\partial p}{\partial z} \hat{z} \right) dV$$

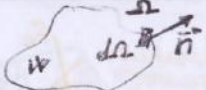
$$= - \int \vec{p} \left(\hat{x} \cos \alpha + \hat{y} \cos \beta + \hat{z} \cos \gamma \right) d\Omega$$

PASSAGGIO PONDERATIVO

$$= - \int \vec{p} \vec{n} d\Omega \quad (\text{TEORIA DI GRAVITÀ})$$

• È UNA FORZA AL LOROINTRO (cioè quelli che stai fuori agiscono sulla superficie)

• Distribuzioni di pressioni al contorno ed inoltre



- Cioè che minore è quella che capita all'esterno non quello che c'è dentro la superficie
- Si può scegliere in volume qualsiasi e quindi bisogna fare una scelta giusta.

$$-\vec{F}_x = \vec{p} + \vec{F}_1 + \vec{F}_2$$

perché l'affondamento è zero perché sopra il punto c'è la pressione atmosferica.

Forze all'intorno che agiscono su questo volume (sempre in cubetto sono a 2x2 spazi)

Mittengono quelle sulle rettangole

Principio di Archimede → Spinta di Archimede

Quindi avrò:



- Se vince il peso va più
- Se vince la spinta di archimede se sono uguali si ferma

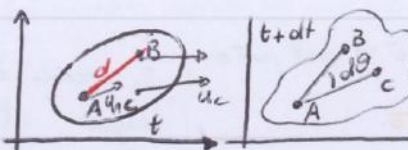
CINEMATICA e DINAMICA dei FLUIDI: mette in gioco le particelle che si muovono, ogni particella si muove per un campo di moto con un rettore relativo, non ci interessa chi genera il campo di moto, in dinamica ci interessa chi ha fatto il campo di moto.

VELOCITÀ ED ACCELERAZIONE \rightarrow fissata una certa evoluzione di riferimento di assi x, y, z :

$$\left. \begin{array}{l} u = u(x, y, z, t) \\ v = v(x, y, z, t) \\ w = w(x, y, z, t) \end{array} \right\} \text{VELOCITÀ delle 3 componenti scalari:}$$

$$\vec{U} = [u, v, w]$$

$$u = \frac{dx}{dt}, \quad v = \frac{dy}{dt}, \quad w = \frac{dz}{dt}$$



$$\rho = \mu \frac{du}{dn}$$

EFFETTO PRINCIPALE: il corpo si è spostato, ma ha cambiato forma cioè si è deformato (si deforma). (campo di moto - deformazioni - forze d'origine (es. gravità), cambiano DISTANZE COI ANGOLI, il mio corpo allunga e mi accresce \Rightarrow cambiano le mie deformazioni, quindi le mie particelle stanno ruotando).

ROTAZIONI \rightarrow TENSIONI: NATURA TANGENZIALE Allungamento o accorciamento \rightarrow TENSIONI NATURALI

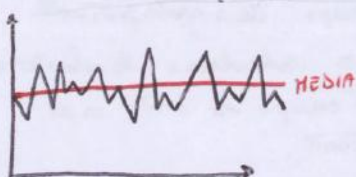
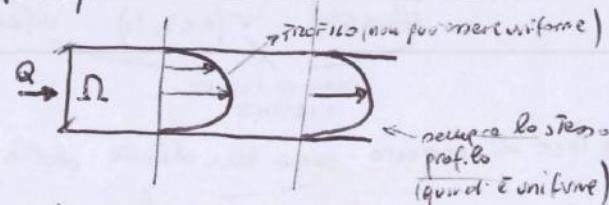
Bisogna capire quale è l'effetto del campo di moto?

MOTO VARIO \rightarrow quando il moto dipende dallo spazio e dal tempo - la curva è stante per istante e da punto a punto (si cambia il flusso nel tempo) \rightarrow flussi

MOTO PERSISTENTE \rightarrow quando istante per istante v. manca le tensioni Velocità nello spazio non dipende dal tempo (Acqua dei rubi)

MOTO UNIFORME \rightarrow indipendente dallo spazio e dal tempo (tutti i punti hanno la stessa relativa e vanno allo stesso modo) \rightarrow si sente a poco

MOTO UNIFORME IN MEDIA (mediamente uniforme) \rightarrow Es. TUBO
Moto che sezione per istante ha lo stesso profilo di velocità



è un moto variabile ma posso prendere la MEDIA, cioè permanente in MEDIA e prenderò quella relativa in media.

MOTO IN QUIETE O FERMO (FLUIDO IN QUIETE) \rightarrow vettore relativo identico rispetto ad una coordinata

MOTO PIANO \rightarrow moto in cui manca una coordinata.

Quando relativa prima o poi bisogna integrarla e quindi nasceranno le ACCELERAZIONI

PUNTI DI VISTA \rightarrow EULERIANO \rightarrow non ci interessa la sorte delle singole particelle ma l'individuazione dei rettori delle relazioni e delle pressioni lungo determinare linea e superficie

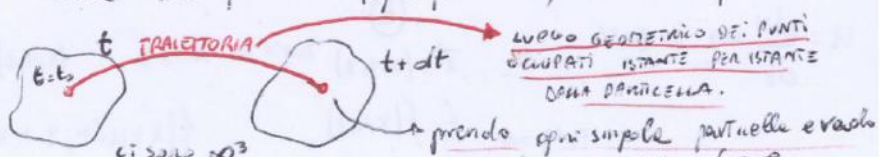
LAGRANGIANO \rightarrow prende in esame le vicende delle singole particelle, assumendo come incognite principali le coordinate dei punti raggiunti dalle particelle stesse nei successivi istanti t .

PUNTO DI VISTA LAGRANGIANO \rightarrow bisogna vedere come le particelle (ogni particelle) si muovono e quali seguire nella sua evoluzione cioè:

$$\begin{cases} x = x(t) \\ y = y(t) \\ z = z(t) \end{cases}$$

Se istante per istante dove è la particelle (grandezza che parla è il tempo)

LEGAME TRA LANTO DI MOTO E TRAIETTORIA è chiaro:



$$\begin{cases} u = \frac{dx}{dt} \\ v = \frac{dy}{dt} \\ w = \frac{dz}{dt} \end{cases}$$

l'accelerazione è la derivata seconda

quindi: $\lim_{\Delta t \rightarrow 0} f(x+u\Delta t, y+v\Delta t, z+w\Delta t) - f(x, y, z) = \frac{Df}{Dt}$

DERIVATA di f FATTA RISPETTO AL TEMPO ma c'è anche lo spazio Δt

$$\frac{Df}{Dt} = \frac{\partial f}{\partial t} + u \frac{\partial f}{\partial x} + v \frac{\partial f}{\partial y} + w \frac{\partial f}{\partial z}$$

↑
SIA NEL TEMPO SIA LA PARTICELLA CHE SI
E MOSSA ed ha cambiato posizione

oppure $\frac{Df}{Dt} = \frac{\partial f}{\partial t} + \vec{u} \cdot \text{grad } f$

E' LINEARE PARTE LOCALE PARTE o accelerazione CONVENTIVA

sul moto permanente

$$\frac{\partial f}{\partial t} = 0$$

→ dunque la sovrapposizione degli effetti non vale più.

$$\frac{Df}{Dt} = \frac{Dfx}{Dt} \vec{i} + \frac{Dfy}{Dt} \vec{j} + \frac{Dfz}{Dt} \vec{k}$$

$$\vec{f} = \vec{u} \quad (\vec{f} \text{ proprio la velocità})$$

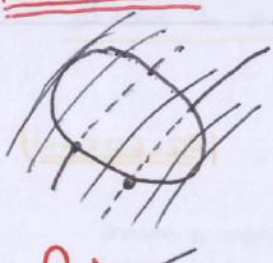
$$\frac{D}{Dt} \vec{u} = \frac{D\vec{u}}{Dt} + \left(u \frac{\partial \vec{u}}{\partial x} + v \frac{\partial \vec{u}}{\partial y} + w \frac{\partial \vec{u}}{\partial z} \right) = \frac{D\vec{u}}{Dt} + \vec{u} \cdot \text{grad } \vec{u}$$

è UN ACCELERAZIONE cioè la derivata di una velocità rispetto al tempo

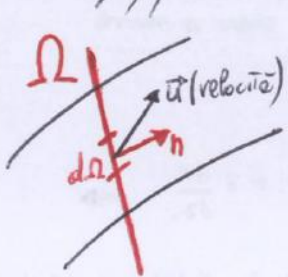
Le tensioni sono mense per accelerazione ma nel punto di vista EULERIANO abbiamo 2 componenti: una parte locale ed una conventiva cioè $\vec{u} \cdot \text{grad } \vec{u}$, il quale ci sarà sempre perché è difficile trovare una velocità costante

CONCETTI:

TUBO di Flusso: è una CURVA CHIUSA e poi prendo tutte le linee di corrente che si appoggiano a quella curva.



Dietro il tubo di flusso c'è il concetto di PENETRABILITÀ (quindi non hanno una componente normale alle linee di corrente) → quindi le particelle passano attraverso il tubo di flusso.



$$dQ = \vec{u} \cdot \vec{n} d\Omega \rightarrow \text{flusso di particelle che passano}$$

PORTATA ELEMENTARE

$$dQ = \vec{u} \cdot \vec{n} d\Omega = u_n d\Omega \xrightarrow{\text{ESTESO A TUTTO}} Q = \int_{\Omega} u_n d\Omega = \int_{\Omega} \vec{u} \cdot \vec{n} d\Omega$$

ESTESO A TUTTA LA SUPERFICIE.

Superficie TRASVERSALE ⇒ quindi ho tagliato con un piano quindi avranno tutte le particelle che hanno la stessa normale quindi un sarà il modulo della velocità.

$$\vec{u} \cdot \vec{n} = u_l$$

$$Q = \int_{\Omega} |u| d\Omega$$

$$U = \frac{1}{\Omega} \int_{\Omega} |u| d\Omega$$

⇒ VELOCITÀ MEDIA

$$[Q = \int_{\Omega} u d\Omega \frac{m^3}{s}]$$

PORTATA IN VOLUME (VOLUMEINICA)

; PORTATA IN MASSA $G = \rho \cdot U$

$$\frac{K}{m^3} \cdot \frac{m^3}{s} = \frac{m^3}{s}$$

Attraverso l'intera superficie di contorno Ω passa nell'intervallo dt la massa:

$$\int_{\Omega} \rho u n d\Omega dt$$

$$dt \int_{\Omega} \rho u n d\Omega = dt \int_{\Omega} \rho v \times n d\Omega$$

FLUSSO COMPLESSIVO che deve essere uguale alla VARIAZIONE DI MASSA NEL TEMPO.

quindi: $\int_{\Omega} \rho u n d\Omega dt = \frac{d}{dt} \int_{\Omega} \rho d\Omega$

$$\left[\int_{\Omega} \frac{\partial \rho}{\partial t} d\Omega = \int_{\Omega} \rho u n d\Omega \right] \quad \begin{array}{l} \text{EQUAZIONE DI CONTINUITÀ} \\ \text{IN FORMA GLOBALE} \end{array}$$

Se il fluido è incompressibile ρ è costante \Rightarrow EQUAZIONE DI CONTINUITÀ
diverso $\frac{\partial \rho}{\partial t} = 0$ quindi il flusso complessivo $\int_{\Omega} \rho u n d\Omega$
è uguale a zero.

(PONTATA È ZERO \Rightarrow non c'è variazione di massa \Rightarrow uo che entra è uguale a uo che esce)

Delta dQ PONTATA ELEMENTARE ATTRAVERSO $d\Omega$ si:

TRE SUPERFICI

divisione dell'INTERNA
superficie



$$\Omega = \Omega_0 \cup \Omega_e \cup \Omega_u$$

dove la
velocità non ammette
componente non radiale
(INCOMPRESSIBILE)

Ω_u dove v_n
è POSITIVA
dove è entrata del
fluido (FLUIDO ENTRA)

Ω_u dove v_n
è NEUTRA
e si ha uscita
del fluido
(FLUIDO USCIE)

$$\rightarrow \int_{\Omega} u n d\Omega + \int_{\Omega_e} u n d\Omega + \int_{\Omega_u} u n d\Omega = 0$$

scrivere che $\int_Q dQ = 0$

$$Q_e - Q_u = 0$$

PONTATA ENTRANTE NEL
MIO SISTEMA

PONTATA USCIENTE

$$\int \vec{U} \cdot \vec{n} d\Omega = 0$$

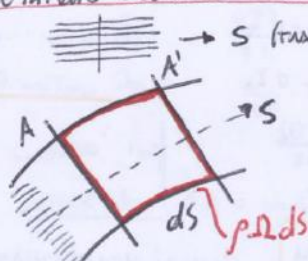
SE IL FLUSSO È INCOMPRESSIBILE
FLUSSO ENTRANTE UGUALE AL
FLUSSO USCIENTE
("uo che entra è uguale a
uo che esce")

Vale per qualsiasi sistema \Rightarrow per calcolare i flussi, calcolarli
su tutti i punti al contorno, ci chiede la velocità al contorno
bisogna usare al concetto di CONNENTE

Cos'è UNA connente \Rightarrow quei punti dove le traiettorie hanno la stessa direzione, nel senso di moto
permanente questo coincide con il canotto di tubo di flusso nel nuovo riferimento perché
le superficie al contorno pur avere sede di velocità normali

\Rightarrow DOVE CI È UN FLUSSO O LINEA DI CONNENTE HANNO UNA DIREZIONE PREFERENZIALE, SONO SENSIBILMENTE RETTILINEE E PARALLELE.

Se ci sono dei cambiamenti all'interno del sistema sono scambiato rotati quindi parla di connente, se sono
cambiamenti grossi non può.



ma soprattutto $\Omega = \Omega(s,t)$
 $U = U(s,t)$
 $Q = Q(s,t)$

due sezioni A e A' poste alla distanza ds , in un intervallo di tempo dt .

PONTATA ENTRANTE IN A : $\rho Q dt$

PONTATA USCIENTE: $\left[\rho A + \left(\frac{\partial \rho A}{\partial s} \right) ds \right] dt$

Differenza tra le 2 pontate: $- \frac{\partial \rho}{\partial s} A ds dt$

La seconda portata eccede quindi questo numero deve corrispondere per il principio di conservazione delle
masse, una diminuzione di massa $\int_{\Omega} ds$ richiede nel tutto considerato che vale $-\left[\frac{\partial (\rho A)}{\partial t} \right] ds dt$

quindi $\rho Q dt + \frac{\partial \rho Q}{\partial s} ds dt - \rho Q dt = \frac{\partial \rho A}{\partial t} dt ds \Rightarrow \frac{\partial \rho Q}{\partial s} + \frac{\partial \rho A}{\partial t} = 0$

se ρ è costante (flusso incompressibile)

$$\frac{\partial Q}{\partial s} + \frac{\partial A}{\partial t} = 0$$

lega PONTATA E AREA Ω

EQUAZIONE DI CONTINUITÀ
PER UNA CORREZIONE NELLA
SUO FORMA INDEFINITA

$$\int_W \left(\frac{\partial \vec{\phi}_x}{\partial x} + \frac{\partial \vec{\phi}_y}{\partial y} + \frac{\partial \vec{\phi}_z}{\partial z} \right) dW = - \int_{\Omega} (\vec{\phi}_x \cos x + \vec{\phi}_y \cos y + \vec{\phi}_z \cos z) d\Omega \text{ grazie}$$

al teorema di Green \Rightarrow $-\int_{\Omega} \vec{\phi}_n d\Gamma$ SPINTE AL CONTORNO. (MONTAGNA TANGENZIALI DELLE CONDIMENTI HORNADAI O TANGENZIALI).

Biprese EQ. INDEFINITA del moto \rightarrow esprime le condizioni di equilibrio dinamico in ogni punto del campo (3 eq. scalari)

EQ. DI CONTINUITÀ \rightarrow che riflette il principio di conservazione della massa (eq. scalare)

EQ. DI STATO \rightarrow che individua il legame fra densità, lo stato di sforzo a cui si trova sottoposto il fluido e la sua temperatura; di norma considereremo processi isotermici così la temp non compare come variabile;

Se fluido è incompressibile $p = \text{cost}$, invece se bisogna tener conto della compressibilità è più complesso.

\rightarrow quindi ci hanno 5 equazioni scalari nelle 10 variabili, funzioni dei punti del campo e del tempo t : ① densità p ; ② componenti delle relazioni u, v, w ; ③ componenti degli sforzi interni $\sigma_x, \sigma_y, \sigma_z$ (componenti normali), ④ τ_x, τ_y, τ_z (componenti tangenziali)

quindi mancano altre 5 equazioni che devono essere date componimenti del fluido e delle sue deformazioni MOLINITÀ NELOGICHE

Qu: caso di fluido PERFETTO che ha uno stato di sforzo come i fluidi in quiete \rightarrow sforzi tangenziali nulli ($\tau_x = \tau_y = \tau_z = 0$), componenti normali uguali fra loro ($\sigma_x = \sigma_y = \sigma_z$)

Per queste si adotta come per i fluidi in quiete la denominazione di pressione p , queste costituiscono appunto le 5 relazioni aziendere definendo il problema dinamico, fluido in quiete compreso.

$$\left[\frac{\partial \phi_x}{\partial x} = \frac{\partial p}{\partial x} i ; \quad \frac{\partial \phi_y}{\partial y} = \frac{\partial p}{\partial y} j , \quad \frac{\partial \phi_z}{\partial z} = \frac{\partial p}{\partial z} k \right]$$

$$p(F - \Omega) = g u \rho p$$

EQUAZIONE DI EULER

\rightarrow bisogna tener conto delle condizioni al contorno e iniziali.

Queste spinte al contorno: $\int_W p \frac{D\vec{u}}{Dt} dW =$ per la regola di DERIVAZIONE

EULEIANA e che i termini del tipo $\frac{\partial u}{\partial x}$ posso scrivere:

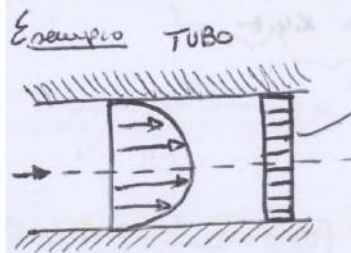
$$p \frac{D\vec{u}}{Dt} = \int \frac{\partial \vec{u}}{\partial t} + p u \frac{\partial \vec{u}}{\partial x} + p v \frac{\partial \vec{u}}{\partial y} + p w \frac{\partial \vec{u}}{\partial z} \quad \text{per le REGOLE ALGEBRICHE}$$

dico che: $p u \frac{\partial \vec{u}}{\partial x} = \frac{\partial p u \vec{u}}{\partial x} - \vec{u} \cdot \frac{\partial p u}{\partial x}$

$$\int \frac{D\vec{u}}{Dt} = p \frac{\partial \vec{u}}{\partial t} + \frac{\partial p u \vec{u}}{\partial x} + \frac{\partial p v \vec{u}}{\partial y} + \frac{\partial p w \vec{u}}{\partial z} - \vec{u} \left(\frac{\partial p u}{\partial x} + \frac{\partial p v}{\partial y} + \frac{\partial p w}{\partial z} \right) \quad \begin{cases} ① & x+y=z \\ & x=z-y \\ ② & \frac{\partial x y}{\partial t} = \frac{x \partial y}{\partial t} + \frac{y \partial x}{\partial t} \end{cases}$$

$$\boxed{[\text{div}(p \vec{u})] = - \frac{\partial p}{\partial t}}$$

IN DEFINITIVA



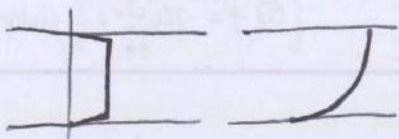
Esempio TUBO
se l'avessi così $\vec{H} = \vec{n} \int_L u^2 p dL = \vec{n} \beta u^2 \rho L \rightarrow$ il flusso di quantità di non si dice anche che è applicato nel baricentro.

COEFFICIENTE DI RAGGUAGLIO
(coeff. di conos.)

per conoscere quanto vale il vero β
dopo conoscere u^2

$$\beta = \frac{\int_L u^2 p dL}{\rho u^2 L}$$

Profilo TUBO e Fluido



TANTO PIÙ IL PROFILO DI VELOCITÀ È PIATTO PIÙ β VALE 1

l'umetto su entrambi di poche % (10%)

Equazioni del Moto dei Fluidi Reali

EQUAZIONI DI NAVIER per i FLUIDI VISCOSI nascono dalla formula $p(\vec{F} - \frac{du}{dt}) = \frac{\partial \vec{u}_x}{\partial x} + \frac{\partial \vec{u}_y}{\partial y} + \frac{\partial \vec{u}_z}{\partial z}$ le forze delle spinte.

degli sforzi tang. τ_x, τ_y, τ_z e normali $\sigma_x, \sigma_y, \sigma_z$ da questa proprietà estendono il carrello di pressione p

$$p = \frac{1}{3}(\tau_x + \tau_y + \tau_z)$$

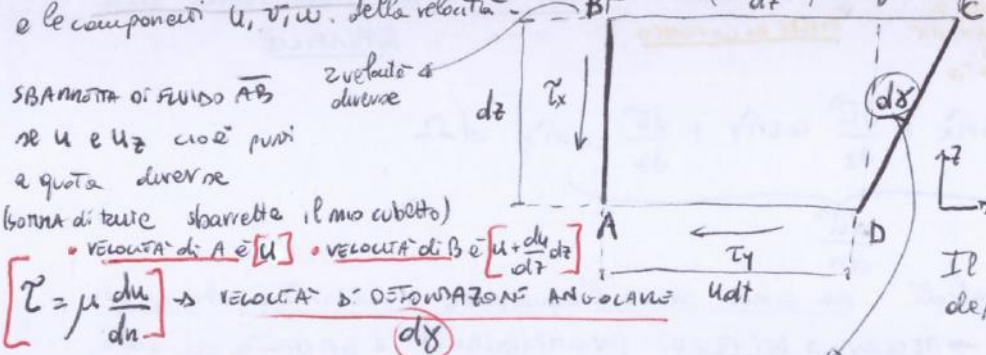
una sola forza normale dovuta da p

Lo stato di sforzo può così essersi dato dalla sovrapposizione di 2 parti: l'altra delle sei componenti di sforzo quindi si ottiene il TENSORE DEGLI SFORZI in 2 parti una statica l'altra che individua le origini del

Movimento chiamato elementare degli sforzi	$\begin{vmatrix} \tau_x & \tau_z & \tau_y \\ \tau_z & \tau_y & \tau_x \\ \tau_y & \tau_x & \sigma_z \end{vmatrix} = \begin{vmatrix} p & 0 & 0 \\ 0 & p & 0 \\ 0 & 0 & p \end{vmatrix} + \begin{vmatrix} \tau_x - p & \tau_z & \tau_y \\ \tau_z & \tau_y - p & \tau_x \\ \tau_y & \tau_x & \sigma_z - p \end{vmatrix}$ <p style="text-align: center;"><u>TENSORE DEGLI SFORZI</u></p>	<u>IDROSTATICA (grad p)</u>	<u>LA DEVIAZIONE DEGLI SFORZI</u>
---	--	-----------------------------	-----------------------------------

sono reale esistente che all'anno scorso del movimento, cioè al tendere a zero del elementare, gli sforzi normali $\sigma_x, \sigma_y, \sigma_z$ tendono al valore di p .

Per l'equazione del moto bisogna stabilire i legami fra le 6 componenti del elementare, la viscosità μ , e le componenti u, v, w della velocità.



QUESTO ELEMENTINO È
MUSICO A ROTARE PERCHÉ CI
SONO LE Z CHE LO SCHIACCIA E
LO MUORE ⇒

$$\gamma = \mu \frac{du}{dz} \quad (\text{velocità derivate in direzione normale})$$

Il mio sistema è cambiato perché c'è stata una deformazione.

ne le $\sigma - p = \mu \frac{dE}{dt}$ velocità di deformazione lineare cioè come mi allungo o si accorciò i segmenti.

$\gamma_x = \frac{\partial \tau_x}{\partial t}, \tau_y = \mu \frac{\partial \gamma_y}{\partial t}, \tau_z = \mu \frac{\partial \gamma_z}{\partial t}$ le γ sono linearmente dipendenti dalla velocità di rotazione lineare nelle 3 direzioni. L'elemento non si è solo spostato ma anche allungato

componenti normali $\tau_x - p, \tau_y - p, \tau_z - p$ sono funzioni lineari delle velocità di deformazione

arrivare quando le TRASFORMAZIONI o APPROSSIMAZIONI sono piccole.

I fluidi RETTI li ottieniamo quando la distanza dal PUNTO è quanto dire IMPERFETTO.

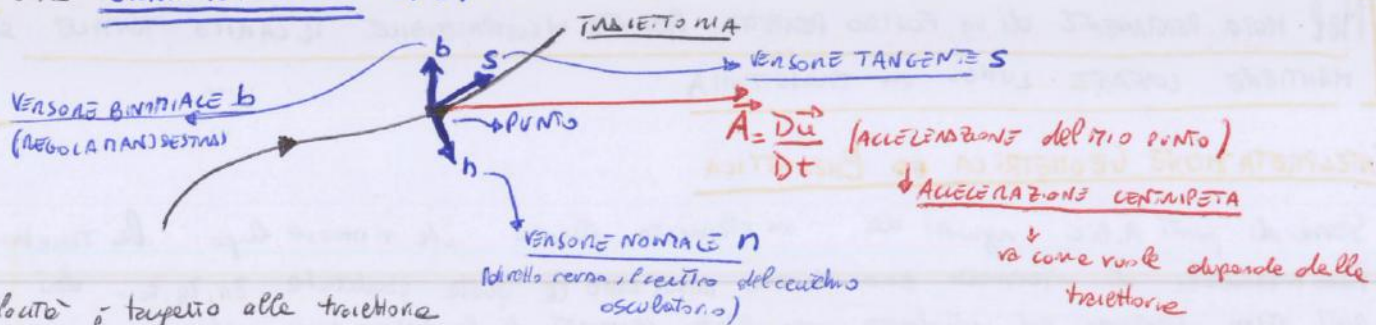
→ Soluzione di questa EQUAZIONE $\vec{F} = -\text{grad } gz$ IDROSTATICA con Terna x, y, z rettilinee.

$$p\vec{F} = -pg \text{ grad } z = -g \text{ grad } z = -\text{grad } gz \xrightarrow{\text{sostituisco}} \text{grad } gz + \text{grad } p = p \frac{D\vec{u}}{Dt}$$

$$\rightarrow \text{grad } (gz + p) = -p \frac{D\vec{u}}{Dt} \quad \text{INCOMPATIBILE quando diriso per } g \Rightarrow \left[\text{grad } \left(z + \frac{p}{g} \right) = -\frac{1}{g} \frac{D\vec{u}}{Dt} \right] \quad h = \text{CARICO PIZZOMETRICO}$$

Il gradiente delle quote pizzometriche risulta uguale al rapporto, cambiato di segno, fra l'accelerazione cui è soggetto il generico elemento fluido in movimento e l'accelerazione di gravità (nullo per un fluido in quiete e nullo per un fluido in movimento uniforme).

prendo una TERNA INTUNSECA b, s, n



• La velocità è tangente alle traiettorie

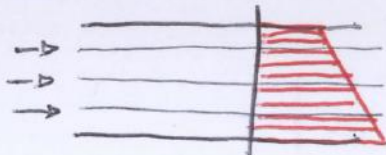
$$\left[\frac{D\vec{u}}{Dt} = \left(\frac{Du}{Dt}, \frac{Uz}{R}, 0 \right) \right] \quad \text{modulo delle velocità}$$

Tre dimensioni: (TERNA INTUNSECA)
di un fluido pesante

$$\begin{cases} \frac{d}{ds} \left| z + \frac{p}{g} \right| = -\frac{1}{g} \frac{Du}{Dt} \\ \frac{d}{dn} \left| z + \frac{p}{g} \right| = -\frac{U^2}{gr} \\ \frac{d}{db} \left| z + \frac{p}{g} \right| = 0 \end{cases}$$

→ CARICO PIZZOMETRICO NON È COSTANTE
È ZERO SE È RETTO OPPURE IN DIREZIONE
ORTOGONALE ALLA TRAIETTORIA RETTILINEA
→ DISTRIBUZIONE IDROSTATICA DI
PRESSIONI LINEARI.

Se il FLUIDO è RETTO c'è una DISTRIBUZIONE IDROSTATICA
di Pressioni (con LINEE SENZIALMENTE RETTILINEE E PARALLELE)



Esempio: UN TUBO O UNA STRUTTURA CILINDRICA RETTILINEA.

DIREZIONE BINORMALE
ALLA TRAIETTORIA DOVE NON SI SENTE LA DINAMICA
HO CARICO PIZZOMETRICO COSTANTE]

→ La quota pizzometrica è costante
quando la curvatura è nulla, cioè
quando la traiettoria è rettilinea
nell'intorno del punto.

Se i carichi pizzometrici sono diversi, ho forte durezza

TEOREMA DI BERNOULLI

La derivata delle velocità è una deriva sostanziale secondo l'arco dell'accelerazione dell'elemento liquido che, scorrendo il tempo, si muore lungo le proprie traiettorie $v = v(t; s(t))$

essendo (s) le coordinate curvilinee del punto rispetto dall'elemento liquido al tempo t , e tenuto conto che $\frac{ds}{dt} = \vec{u}$ (velocità) possiamo applicare la derivazione esterna:

$$\frac{du}{dt} = \frac{du}{dt} + u \frac{du}{ds} = \frac{du}{dt} + \frac{1}{s} \left(\frac{u^2}{2} \right) \quad \Rightarrow \text{raccolgo le derivate e mettendo nelle} \quad \frac{d}{ds} \left(z + \frac{p}{g} \right) = -\frac{u^2}{gr}$$

Tutto dal principio di ANGUITIENEDE in cui le forze si fanno opposte. Una pressione P e la spinta idrostatica $\frac{P}{8}$ quindi scontrando quel fuo al pelo libero non consumano lavoro. Ma a spostare il fluido ci rendiamo conto che la sua energia positiva è aumentata $gh\Delta h$. Variazione di pressione da destra è dunque zero sul pelo libero, diminuita per unità di peso $h = \frac{P}{g}$

Per un fluido pesante, perfetto, incompressibile e in moto permanente lungo la traiettoria l'energia meccanica si conserva. L'ENERGIA TOTALE del mio sistema si conserva ma non ci sono le T . Per un fluido neanche questo H non è costante ma va via per attrito.

Io ho una perdita di ENERGIA mentre vado avanti c'è dissipazione quindi la linea dei carichi totali è un disceso (sarà in salita solo con energie dall'esterno); e D'ALMA se il fluido è PERFETTO. \Rightarrow IMPORTANTE

più è inclinata quella linea più vuol dire che avrò bisogno di tante energie perché ne sto dissipando (PERDITE DI CAPO → quante energie sto spendendo).

ATTENZIONE

1. ENERGIA DI PRESSIONE \rightarrow non è di tipo elastico \rightarrow è INCOMPRESSIBILE non c'entra nulla l'elasticità (liquido incompressibile non ammira energie elastiche)

2. H è costante lungo la traiettoria (punti su traiettoria diverse hanno avuto diverso \rightarrow ci renvi in avanti la connivenza perché ci sono le relazioni

abbiamo dimostrato che il trinomio di Bernoulli (FLUIDO incompressibile) rappresenta l'intera energia meccanica posseduta dall'unità di peso del fluido. Quando la linea dei carichi totali viene anche detta LINEA DELL'ENERGIA.

Quindi BERNOUILLI si enuncia come: Nel moto permanente di un fluido perfetto pesante incompressibile l'ENERGIA MECCANICA SI MANTIENE COSTANTE LUNGO OGNI TRAIETTORIA

Quindi questo teorema esprime la possibilità e le modalità di trasformazione dell'energia meccanica di un liquido da una forma all'altra (in particolare l'aumentare delle velocità per ridurre quelle gravitazionali).

APPLICATIONS: Procedi di effusio attraverso fumi aperti \rightarrow FONONOMIA (liquido che fanno per un moto)

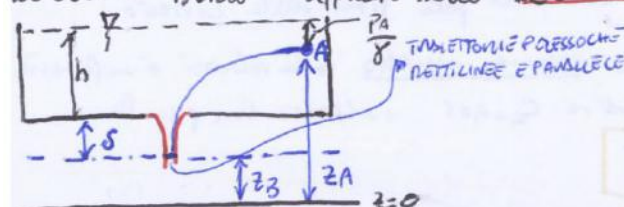
ma non si parla di fumi \rightarrow misure di portate liquide.

Si possono distinguere 2 grandi categorie

la corrente che ha origine da una luce

si chiama GETTO o VENA LUMINOSA.

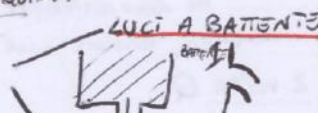
Qui ci limitiamo all'efflusso da luci a batterie a spigolo vivo
ide con il bordo affilato sono LUCI IN PARETE SOTTILE:



a prima sezione trasversale della corrente dove questo avviene \rightarrow SEZIONE CONTRATA \rightarrow come ha area inferiore a quella della luce

l'importanza della sezione contratta è che attraverso la traiettoria necessariamente rettilinea e parallele, la corrente si può in considerazione gradualmente variare e quindi idrostatica la dist. di pressione quindi se il piano è orizzontale pressione è NULLA in ogni suo punto, al contrario è costante con l'istante d'affondamento dinamico della luce.

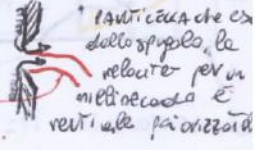
Applichiamo Bernoulli ad una generica traiettoria, da A obiettiva l'uscita dalla luce perché la velocità risi per la ritenzione massimale raggiunta a un punto B sulla stessa corrente \rightarrow presupponendo la STAZIONARITÀ del percorso,



LUCI A STRANZETTI

hanno la parte inferiore del loro contorno soppresso al pelo libero, e quindi la luce ha un'apertura del pelo più elevata del centro della luce.

LUCI A SPICOLATO VIVO



particella che esce dello spicolo, la velocità per un millesimo di secondo è molto più piccola.

particella si attira alla parete.

FLUIDO è:

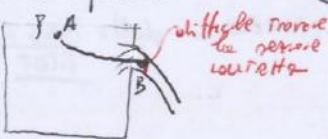
- PESANTE (gravità)
- INCOMPRESSIBILE è l'acqua
- PERFETTO perché traiettorie rettilinee e parallele, dunque rispetta la legge di Bernoulli

MOTO PERMANENTE \rightarrow luce è piccola oppure metto un TURBO che mi metta acqua in quantità che esce

quindi se il piano è orizzontale pressione è NULLA in ogni suo punto, al contrario è costante con l'istante d'affondamento dinamico della luce.

Di più difficile interpretazione è l'effetto di una rete sbocciante da cui l'acqua in porto verticale, abbiamo anche qui una rete sbocciante.

Ora non posso dire che valge l'eq. dell'idostatismo cioè da tutti i punti hanno la stessa pressione, quindi per questa contraddizione bisogna riformulare l'eq. fondamentale.



Consideriamo una colonna di liquido a gravità: rettilinei, paralleli al fondo che contiene il liquido in quiete.

Troviamo un strato di altezza dz medior: 2 piani orizzontali e sia A l'area della rete sbocciante, esposto alle tensioni è dato dall'annullarsi del risultato del peso e della spinta di apice nelle 2 facce:

$$\textcircled{1} \quad p + \frac{dp}{dz} dz = P_A - Adz \quad \textcircled{2} \quad gdm = -gdm \quad \textcircled{3} \quad A \left(p + \frac{dp}{dz} dz \right) + \gamma Adz = Ap \quad \text{semplificando} \\ \frac{dp}{dz} + \gamma = 0 \\ \text{da cui per l'interpretazione l'eq. FONDAMENTALE} \quad z + \frac{p}{\gamma} = \text{cost}$$

Fermo tutto fermo

Va notato lo strato di liquido considerato non può cadere perché sorretto dal liquido sottostante che a sua volta è sorretto dal fondo del recipiente: sullo strato si esercita una REAZIONE PIÙ AFFOGATA modulo A_p .

② Strato privo di componenti rettangolari di velocità è opposto all'accelerazione γ e quindi ad una forza d'inerzia, diretta verticalmente verso l'alto cioè nel verso opposto alla γ
↳ $F_I = gdm$ e le appena si riporta dove c'è γ la spinta verso l'alto:

$$gdm A_p = \left(p + \frac{dp}{dz} dz \right) A$$

$$\gamma \left(\textcircled{3} \right) Adz + A_p = \left(p + \frac{dp}{dz} dz \right) A + \gamma Adz$$

$$\left[\frac{Adp}{dz} \cdot dz = 0 \quad \frac{dp}{dz} = 0 \right] \Rightarrow \text{pressione COSTANTE LUNGO LA VENTILATE.}$$

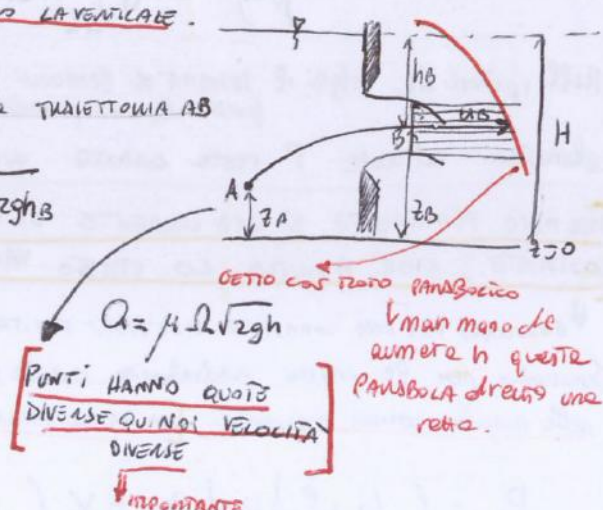
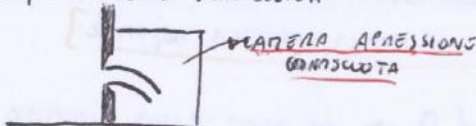
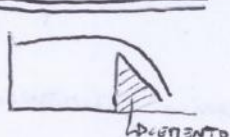
Ritornando al problema dell'EFFLUSSO, il TEOREMA DI BERNOULLI ALLE TRAIETTORIE AB

abbiamo

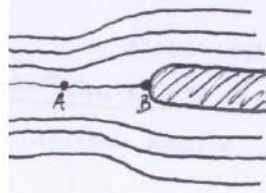
$$H = z_A + \frac{p_A}{\gamma} = z_B + \frac{u_B^2}{2g} \quad \text{o quando } u_B = \sqrt{2g(H-z_B)} = \sqrt{2gh_B}$$

h_B è l'affondamento del punto B sotto lo specchio liquido.

PROFILO CREATUR -> rete più o meno PARABOLICA



TUBO DI PITOT → è utile per capire come un corpo si inserisce in un fluido, una corrente che inverte la velocità, la corrente a sufficie distanza a monte dell'ostacolo, abbia traiettorie rettilinee e parallele. Arricciando l'ostacolo le traiettorie divergono per poterlo aggirare. Nel punto B c'è una brusca deviazione ad angolo retto il modulo di velocità va a zero; sicché il punto B viene detto d'arresto o di ristoppo.



$$\text{BERNOULLI MHD AB} \quad z_A + \frac{p_A}{\gamma} + \frac{u_A^2}{2g} = z_B + \frac{p_B}{\gamma} + \frac{u_B^2}{2g} \quad z_A = z_B + h_A \quad \frac{h_A}{\gamma} = p_A - p_B \quad \text{in A} \\ \frac{h_B}{\gamma} = p_B - p_B \quad \text{in B}$$

ricava la velocità che inverte il moto ostacolo

$$[u_A = \sqrt{2g(h_B - h_A)}]$$

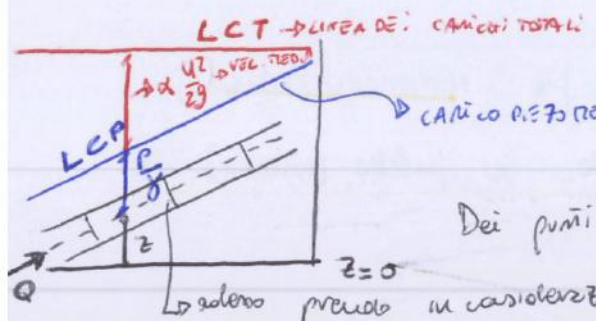
DIFERENZA DI VELOCITÀ
CANTIERI
VOLGONO MISURANO UNA
VELOCITÀ

$$P_{\text{CIN}} = \gamma \left(z + \frac{p}{\gamma} \right) Q + \alpha \gamma \frac{U^2}{2g} \text{ 4\Omega} = \gamma \left(z + \frac{p}{\gamma} + \alpha \frac{U^2}{2g} \right) Q \quad \text{QUINDI} \Rightarrow$$

PONERATA INIZIO DI SENSORE

$$P = \gamma H Q$$

ANTONIO BERNUOLI
PER COMUNE



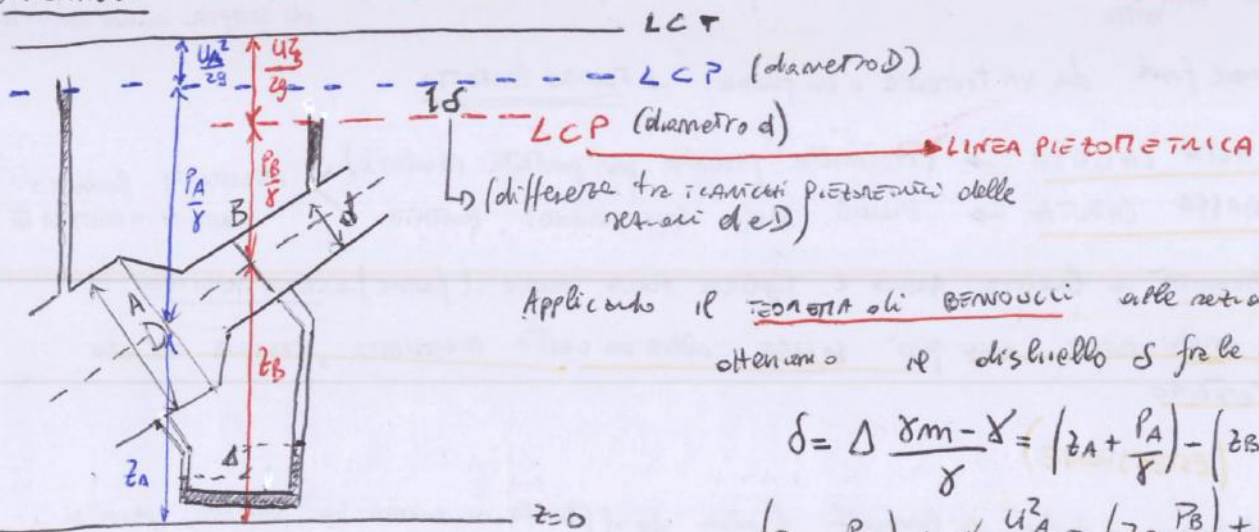
Dei punti delle sezioni prendiamo quello sull'asse centrale.

OR H = COST/OUTO (FLUIDO PERMUTA,
INCONTRIBUIBLE, PESANTE, INIZIATO
PERMANENTE LUNGA (A CONNUO)).

IMPORTANTE PER IL MECCANISMO delle DINAMICA dei FUNDI

Applicazione (TUBI CONVENIENTI: VENTILINERI)

Se il tubo si allunga il termico cinetico diminuisce se il tubo si restringe il termico cinetico aumenta, me lo dice **un**



Applicando il teorema di Bernoulli alle reticolari A e B
otteniamo il dislivello S fra le quote pietonabili.

$$\delta = \Delta \frac{\gamma m - \chi}{\gamma} = \left(z_A + \frac{P_A}{\gamma} \right) - \left(z_B + \frac{P_B}{\gamma} \right) = \\ \left(z_A + \frac{P_A}{\gamma} \right) + \cancel{\chi \frac{U_A^2}{2g}} = \left(z_B \frac{P_B}{\gamma} \right) + \cancel{\chi \frac{U_B^2}{2g}}$$

équation de Bernoulli :

$$S = \frac{U_B^2 - U_A^2}{2g}$$

$$essentials$$

$$\left[u = \frac{Q}{\pi} \right]$$

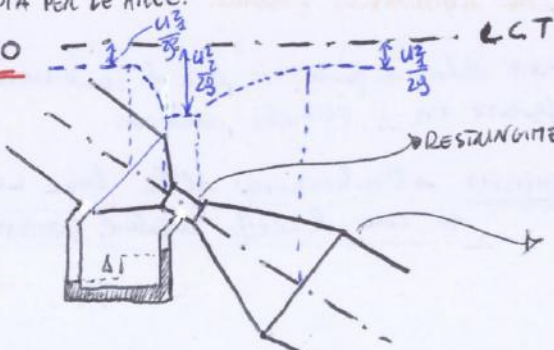
$$Q = \frac{1}{\Omega} U_A = \frac{1}{\Omega_B} U_B \rightarrow \left(\frac{\frac{Q^2}{\Omega^2}}{\Omega_B} - \frac{\frac{Q^2}{\Omega^2}}{\Omega_A} \right) \frac{1}{2g} \quad \text{de} \quad \frac{Q^2}{2g} \left(\frac{1}{\Omega_B^2} - \frac{1}{\Omega_A^2} \right) = \Delta \frac{8m\pi}{8} \quad \text{vicio:}$$

$$Q = \frac{J_A J_B}{\sqrt{J_A^2 - J_B^2}} \sqrt{2g \Delta \frac{\delta m - \gamma}{\gamma}} = f(\Delta)$$

NOTA PER LE AREE.

Q funzione di Δ (differenze dei menismi)
 (quindi revo alcun strumento messo a calore con
 un righello le retini I ed dare pass il fluido).

VENTURERETRO - U3 - U2 - U2 - ECT



DESENVOLVIMENTO (CONTRIBUENTE)

A me interessa la S dei
ANALIPIEZONERICI

il punto di debolezza è il diffusore perché far differire un connetto serve forse ad essere un modo tranquillo.

→ Se restringe el DIVERGENTE → la medida directa IMPRECISA

Parlamo di CADENTE cioè che per il sopravvissuto energetico di H , che la CADENTE J rappresenta in ogni punto la paralisi di ENERGIA subita dall'unità di peso del liquido nell'unità di percorso.

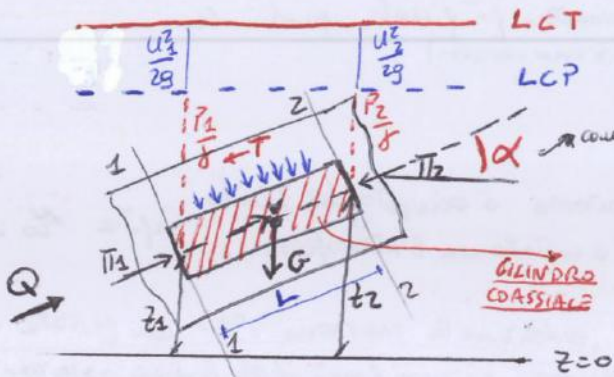
Si può dire $H_0 = \text{Anivo totale nella rete di escursione } S=0$

$$H(s) = H_0 - \int_0^s J(s) ds = H_0 - JS$$

↑
SOLI PER NOTO UN TONDO
 $J = \text{costante}$.

Il J sarà nascosto in $-\mu \Delta z \vec{u}$ (locale) oppure in $-\mu \int_L \frac{du}{dz}$ dL (globale) (dagli storti TANGENZIALI \vec{T})

Esempio (tubo)



→ AZIONE DI TRASLATORIO
DI UNA CORRENTE

Interrato viscosità nei fluidi reali fa sì che gli sforzi che agiscono sulla parte del condotto in cui si muore una corrente presentino componenti tangenziali → AZIONE DI INSGNIMENTO delle correnti sull'involucro. La forza opposta è la resistenza.

Applichiamo l'eq. globale dell'equilibrio applicandola alla direzione del moto:

• $\Pi_1, \Pi_2, \Pi_{\text{tot}}$ (sforzi) (P_{1A}, P_{2A}) nulli

• H_e e H_u sono uguali e costanti nel tubo (una non si possono avere direzioni diverse (H_e, H_u)).

• G sen α (componente del peso G)

• I è nullo perché il noto è PENTAMENTE

quindi:

$$-G \sin \alpha + \vec{\Pi}_1 - \vec{\Pi}_2 + \vec{H}_e - \vec{H}_u + \vec{I}_{\text{tot}} = 0$$

DIREZIONE OPPOSTA AL ROTTO (se è al contrario b giro dell'altra parte)
IN DIREZIONE delle γ
SU TUTTO IL CORPO.

quindi $T = \Pi_1 - \Pi_2 - G \sin \alpha = A (P_1 - P_2) - \gamma L A \sin \alpha$

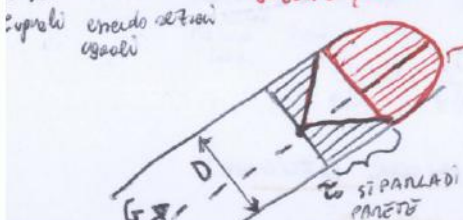
poiché:

$$\begin{aligned} \text{G sen } \alpha &= \gamma \Pi R^2 L \sin \alpha = \gamma \Pi R^2 (z_2 - z_1) \\ \text{sen } \alpha &= \frac{z_2 - z_1}{L} \end{aligned}$$

$$P_1 \Pi R^2 - P_2 \Pi R^2 \quad (\text{PRESSIONE NEL BREVICENTRO PER L'AREA} = \text{SPINTA})$$

$$T = \gamma \Pi R^2 \cdot JL$$

$$\left\{ \begin{array}{l} T = \frac{J}{\Omega_{\text{crit}}} = \frac{\gamma \Pi R^2 JL}{\Omega_{\text{crit}}} = \gamma \frac{R}{2} J \\ \text{ESISTONO PUNTI} \\ \text{SUPRALE CORDO SETZIONI} \\ \text{UGUALI} \end{array} \right.$$



profilo di VELOCITÀ
al centro è più veloce

⇒ Le T non esistono sulla parte ma esistono anche nel cilindro. Se ci sono T all'interno del tubo quelli velocità decresce e quindi è funzione delle γ (il centro è veloce perché non c'è γ) velocità minima nelle ore.

$$\begin{aligned} T &= -\gamma \Pi R^2 (z_2 - z_1) + (P_1 - P_2) \Pi R^2 = \\ &= \gamma \Pi R^2 \left[(z_1 + \frac{P_1}{\gamma}) - (z_2 + \frac{P_2}{\gamma}) \right] = \end{aligned}$$

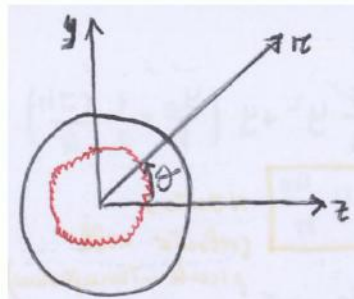
differenza dei canottii PIETRIFICATI quindi è JL

VALIDITÀ GENERALE
dove qualunque sia la morfologia del morsetto

$$T = \gamma A \cdot L \cdot J = \gamma W J \quad \text{dove } W \text{ è} \\ \text{volume del fluido contenuto nel tronco} \\ \text{consid. cost.}$$

$$T = \gamma \frac{D}{4} J = \gamma \frac{R}{2} J = \gamma R J$$

→ RAGGIO IDRULICO



Supervisão R LAPLACIANO IN COORDENADAS ALFABÉTICAS

$$\Delta_r u = \frac{1}{r} \frac{\partial}{\partial r} \left(r \frac{\partial u}{\partial r} \right) + \frac{1}{r^2} \frac{\partial^2 u}{\partial \theta^2} \quad \text{per simmetrie}$$

$$\frac{1}{k} \frac{\partial}{\partial x} \left(x \frac{\partial u}{\partial x} \right) = - \frac{85}{11}$$

$$\pi \frac{du}{d\pi} = -\frac{8J}{\mu} \frac{\pi^2}{2} + \cancel{\cos t} \quad \cancel{= 0}$$

$$\underline{\text{VELOCITA'}} \quad u = \frac{\delta J}{4\mu} (R^2 - r^2) \Rightarrow$$

$$\underline{\text{VELOCITÀ}} \quad \underline{\text{MASSIMA}}$$

$$U_{\max} = \frac{8J}{16\mu} D^2$$

si ha una distribuzione parabolica di spessori



Integrando si ottiene la PONTATA:

$$Q = \int_0^R u z \pi r dr = \dots = \frac{\pi}{128} \frac{8J}{\mu} D^4$$

(LINEARITÀ tra le Σ e le $\frac{du}{dn}$)
 queste formule contengono tutti il flusso, tipo di flusso
 attraverso i portati.

Esempio di calcolo

MOTO TRA 2 LASTRE INDEFINITE , FLUIDO IN PIANO LAMINARE

$$\vec{u} = \langle u(y), 0, 0 \rangle$$

Proprio NAVIER-STOKES lungo x:

$$\frac{d}{dx} (P + \gamma^2) - \mu \frac{d^2 u}{dy^2} = 0 \quad \Delta_2 u = \frac{\partial^2 u}{\partial x^2} + \frac{\partial^2 u}{\partial y^2}$$

$$\text{quindi: } \frac{d}{dx} \left(p + y^2 \right) - M \frac{d^2 u}{dy^2} = 0$$

$$\begin{cases} -\bar{\gamma}y - \mu \frac{dy}{dz} = 0 \\ y|_{y=h=0} \\ \frac{du}{dy}|_{y=0} = 0 \end{cases}$$

$$U_{MAX} = \frac{1}{2} \frac{\gamma J}{\mu} h^2$$

$$U = \frac{Q}{2bb} = \frac{1}{3} \frac{\delta j}{\mu} h^2 = \frac{2}{3} U_{MAX}$$

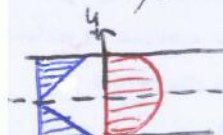
$$Q = \int_0^b b \mu dy = \dots = \frac{2}{3} \frac{\delta J}{\mu} b h^3$$

$$U = \frac{1}{32} \frac{\delta J}{\mu} D^2$$

Per calcolarlo come rapporto fra l'area della sezione trasversale e la lunghezza del suo astone, solo per pareti solide greche nello stesso di quelli del rettangolo la resistenza è nulla escludendo il prodotto delle sezioni: $R_z = \frac{zbh}{z_b} = h$

$$\Delta_2 u = -\frac{g_j}{\mu}$$

qualcosa di infinitamente esteso.



Distribuzione lineare lungo l'asse nelle distribuzioni di χ^2 delle χ^2 e quindi non c'è attacco e rel. massima.

$$U = K \frac{x_3}{\mu} R^2$$

corrisponde alle reazioni

corriente che
s'opone alla reaz.

Il paragrafo ionanuico non mi identifica le geometrie delle mie parole.
Leggi le di linearità tra le U e J. L'ELABORAZIONE, se la si
perde siamo in moto turbotreno.

- AED

~~MOTO ALLA COUETTE~~

$$[u'(t) = u(t) - \bar{u}] \text{ scarto rispetto alla media} \quad [U'^2 = \frac{1}{T} \int_0^T u'(t)^2 dt] \text{ (scarto quadratico medio \(\rightarrow\) varianza)}$$

Componenti di agitazione turbolenta \(\rightarrow\) decomposizione di RAYNOULD

$$u(t) = \bar{u} + u' \rightarrow \text{componente di agitazione (componente di RAYNOULD)}$$

$$v(t) = \bar{v} + v'$$

$$w(t) = \bar{w} + w'$$

$$[u' = 0] \Rightarrow \text{lo so perché: } u' = \frac{1}{T} \int_0^T u'(t) dt = \frac{1}{T} \int_0^T (u(t) - \bar{u}) dt =$$

Sappiamo che: da ① $\operatorname{div} \vec{u}' = 0 \Rightarrow \operatorname{div} (\bar{u} + \vec{u}') = \frac{1}{T} \int_0^T \operatorname{div} u(t) dt - \frac{1}{T} \int_0^T \bar{u} dt = \bar{u} - \bar{u} = 0$
 $= \operatorname{div} (\bar{u}) + \operatorname{div} (\vec{u}') = 0$ prendo tutti i valori e li $\Rightarrow = 1$
medio $\Rightarrow \operatorname{div} (\bar{u}) + \operatorname{div} (\vec{u}') = 0$ sono 2 operazioni lineari (scambio le medie con integrazione)

quindi: ② $\operatorname{div} (\bar{u}) = 0$ per RAYNOULD

Dalle ① e ② deduciamo che mettendo il valor medio della decomposizione è la stessa equazione quindi dice di lavorare con valori medi che è più semplice che lavorare su tutte le oscillazioni, avviene cioè perché $[\operatorname{div} \vec{u}' = 0]$ ha solo operazioni lineari (operazioni lineari)

Ma ne lo faccio sulle equazioni di NAVIER-STOKES $\Rightarrow \vec{F} - \frac{D\vec{u}}{Dt} = \operatorname{grad} p + \mu \Delta \vec{u} \rightarrow$

troverò un \vec{u} MEDIO.

$$\frac{D\vec{u}}{Dt} ? \neq \frac{D\vec{u}}{Dt}$$

PROBLEMA \rightarrow questo non è lineare

medie del prodotto non è il prodotto delle medie.

$$\Rightarrow \frac{D\vec{u}}{Dt} = \frac{D\vec{u}}{Dt} + \bar{u}' \operatorname{grad} \bar{u} = \frac{D\vec{u}}{Dt} + \bar{u}' \operatorname{grad} \bar{u} \rightarrow \text{integrale}$$

$$\rightarrow \bar{u}' \operatorname{grad} \bar{u} = (\bar{u} + \vec{u}') \operatorname{grad} (\bar{u} + \vec{u}') = \bar{u}' \operatorname{grad} \bar{u} + \bar{u}' \operatorname{grad} \vec{u} + \vec{u}' \operatorname{grad} \bar{u} + \vec{u}' \operatorname{grad} \vec{u} =$$

$$= \bar{u}' \operatorname{grad} \bar{u} + \bar{u}' \operatorname{grad} \vec{u} \quad \text{quindi: } \bar{u}' \operatorname{grad} \bar{u} = \bar{u}' \operatorname{grad} \bar{u} + \bar{u}' \operatorname{grad} \vec{u} \xrightarrow{\downarrow \neq 0} \text{FLUSSI DI QUANTITÀ DI MOTO}$$

\downarrow nascono delle \vec{v} di natura turbolenta
 \downarrow dissipazioni appurative

\Rightarrow l'equazione di NAVIER-STOKES diretta:

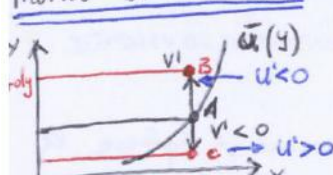
$$\frac{D\vec{u}}{Dt} + \bar{u}' \operatorname{grad} \bar{u} + \bar{u}' \operatorname{grad} \vec{u} = -\frac{1}{\rho} \operatorname{grad} p + \vec{g} + \nu \Delta \vec{u}$$

Equazioni di RAYNOULD per il moto nero (caso particolare di NAVIER-STOKES)

$$\bar{u}' \operatorname{grad} \bar{u} = \operatorname{div} \begin{bmatrix} \bar{u}'^2 & \bar{u}' \bar{v}' & \bar{u}' \bar{w}' \\ \bar{u}' \bar{v}' & \bar{v}'^2 & \bar{v}' \bar{w}' \\ \bar{u}' \bar{w}' & \bar{v}' \bar{w}' & \bar{w}'^2 \end{bmatrix}$$

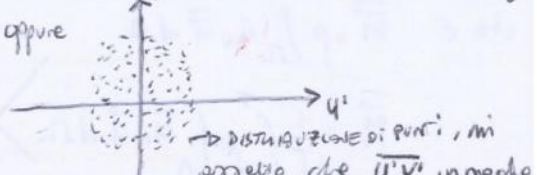
faccio il prodotto $\bar{u}' \bar{v}'$ (medio) solo a vedere istante per istante questo vale la \bar{u}' e la \bar{v}'

profilo di moto nero

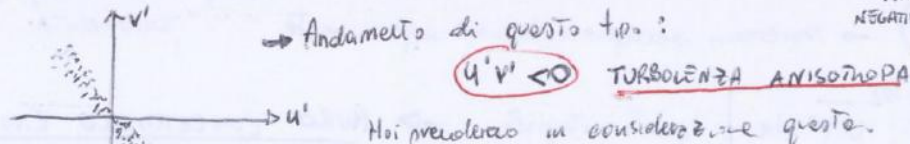


Le turbolente e le componenti di agitazione muovono le particelle in direzione v', w', u'
 quindi: $[v' > 0, u' < 0 \text{ e } w' < 0, u' > 0]$
 quindi: $\bar{u}' \bar{v}' < 0$ (termini negativi)

oppure



se invece



Andamento di questo tipo?

$\bar{u}' \bar{v}' < 0$ TURBOLENZA ANISOTROPA

Hai preso le cose in considerazione queste.

Prenchiamo un'area trasversale al moto:

$$\text{quindi: } \bar{v}' dt dA$$

\rightarrow quindi è un volume per unità di tempo per le superficie trasversali nell'unità di tempo.



questa v' corrisponde a un passaggio di massa attraverso la mia area ma che siamo misurato grazie al moto medio ed alla u'

\Rightarrow CONTINUA se che:

→ Seguiremo la SINTESA PRATICA per capire le caratteristiche delle FORMULE: ANALISI DIMENSIONALE

$$[U = \frac{1}{32} \frac{\rho g D^2}{\mu}]$$

→ le dimensioni delle forze a destra ed a sinistra cioè è una velocità.
Tutte le nostre formule hanno queste caratteristiche.

Alla base della S.I. \rightarrow 3 grandezze in meccanica L, M, T

→ devi sapere quante grandezze quando sono GRANDEZZE FONDAMENTALI

$$[Q_1, Q_2, Q_3]$$

$$[Q_1] = [L^{\alpha_1} M^{\beta_1} T^{\gamma_1}]$$

$$[Q_2] = [L^{\alpha_2} M^{\beta_2} T^{\gamma_2}]$$

$$[Q_3] = [L^{\alpha_3} M^{\beta_3} T^{\gamma_3}]$$

LUNGHEZZA (m) MASSA (kg) TEMPO (secondi)

$$D = \begin{vmatrix} \alpha_1 & \beta_1 & \gamma_1 \\ \alpha_2 & \beta_2 & \gamma_2 \\ \alpha_3 & \beta_3 & \gamma_3 \end{vmatrix} \neq 0$$

$$\text{SCELTA} \Rightarrow [x] = [L^\alpha M^\beta T^\gamma]$$

DETERMINANTE Q_1, Q_2, Q_3 è matricona scelta

La terza Q_1, Q_2, Q_3 è fondamentale \rightarrow con una terza fondamentale non è possibile le tre grandezze scelte da far risultare un numero puro.

$$[Q_1^m \cdot Q_2^n \cdot Q_3^p]$$

NON PUÒ ESSERE PURO

se Q_1, Q_2, Q_3 sono linearmente indipendenti dimensionalmente

TEOREMA II o di BUCKINGHAM \Rightarrow Supponiamo di aver capito che in generale le grandezze siano funzione di altre grandezze

dovrebbero essere omogenee nelle loro dimensioni a destra e a sinistra (omogenea)

$$y = f(q_1, q_2, \dots, q_n, a_1, a_2, \dots, a_r)$$

Se è omogenea posso scegliere 3 grandezze

q_1, q_2, q_3 dimensionalmente indipendenti se faccio una buona

$$\Rightarrow \frac{y}{q_1^{\alpha_1} q_2^{\beta_1} q_3^{\gamma_1}} = f_1(q_1, q_2, q_3, \dots, \frac{q_n}{q_1^{\alpha_n} q_2^{\beta_n} q_3^{\gamma_n}}, a_1, a_2, \dots, a_r)$$

sceglie $\frac{y}{q_1^{\alpha_1} q_2^{\beta_1} q_3^{\gamma_1}}$ sarà numero puro se $\alpha_1, \beta_1, \gamma_1$ scelti giusti così da farlo diventare un numero puro.

La scelta di $\alpha_1, \beta_1, \gamma_1$ che mi fa diventare tutto numero puro

queste 3 scompaiono perché sono grandezze derivate e non numeri puri

se è un numero puro

NUMERI PURI

quindi:

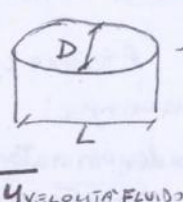
$$\frac{y}{q_1^{\alpha_1} q_2^{\beta_1} q_3^{\gamma_1}} = f_1(N_4, N_5, \dots, N_r, a_1, a_2, \dots, a_r)$$

$$\text{dove } N_4 = \frac{q_n}{q_1^{\alpha_n} q_2^{\beta_n} q_3^{\gamma_n}}$$

ENUNCIATO DI BUCKINGHAM

Ese

$$\frac{F}{\rho, \mu}$$



con queste forze il corpo sia fermo (come risultate di tutte le forze)

$$F = f(\rho, \mu, U, D, L)$$

FLUIDO IN
MOTORE
DIMENTRIBUITO
INDIPENDENTI

se in moto laminare va bene ma se fosse in moto turbolento avrebbe una componente per la parete.

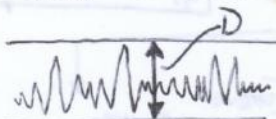
3 grandezze fondamentalmente (dimensionalmente) indipendenti cioè non si può esprimere una grandezza come composizione delle altre due. Scelgiamo ρ, μ, D :

$$\frac{F}{\rho^{\alpha_1} \mu^{\beta_1} D^{\gamma_1}} = f\left(\frac{M}{\rho^{\alpha_2} \mu^{\beta_2} D^{\gamma_2}}, \frac{L}{\rho^{\alpha_3} \mu^{\beta_3} D^{\gamma_3}}\right)$$

$$\begin{array}{lll} \alpha_1=1 & \alpha_2=1 & \alpha_3=0 \\ \beta_1=2 & \beta_2=1 & \beta_3=0 \\ \gamma_1=2 & \gamma_2=1 & \gamma_3=1 \end{array}$$

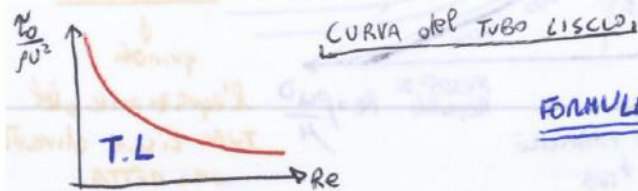
CASI INTERMEDI

TUBO IDRAULICAMENTE LISCO lo strizzerebbe in moto laminare sulla parete del mio tubo contiene tutta la scabrezza \Rightarrow sappiamo che in moto laminare non interessa la scabrezza



$$\frac{\zeta_0}{\rho U^2} = f \left(\frac{\mu}{\rho U D} \right) \Rightarrow \text{quindi questa è funzione del numero di雷诺数} \quad \left[\frac{\zeta_0}{\rho U^2} = f(Re) \right]$$

$$\zeta_0 = f(D, U, \mu, \rho)$$



FORMULE INTERPOLANTI:

$$\lambda = 0,316 Re^{-0,25} \quad Re < 10^5$$

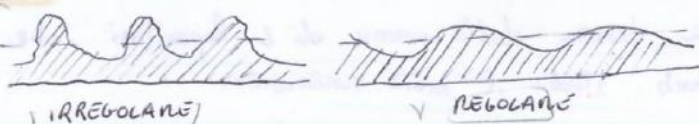
$$\lambda = 0,0032 + 0,722 Re^{-9,237} \quad Re > 10^7$$

per valori di
Re molto più elevati

TUBO NON LISCO, TUBO SCABRO \Rightarrow MOTO TURBOLENTO \rightarrow scabrezza della parete che

è stata indicata con il simbolo S-E e trattandosi di una proprietà di tipo geometrico le dimensioni sono la lunghetza.

Ci sono vari tipi di scabrezza:



Inoltre c'è un altro tipo di scabrezza a DENTI DI SEGA

ma non esiste una geometria geometrica che mi identifica questa scabrezza quindi si cerca

una conseguenza, cioè proprio sulla RISISTENZA OPPosta AL FLOW

ESPERIMENTO DI NIKURADSE

Voglio inoltre sapere l'effetto che mi dà per la perdita di energia?

ha meno un collaio sulla parete del tubo liscio ed ha moltissime delle sfere / cioè sabbia con diametro molto costante \Rightarrow DIAETRO D'ARZONTE DI NIKURADSE

sui tali tubi si è sperimentato la procedura che abbiamo già ricordato

per diversi valori della parete della corrente fluida quindi delle velocità medie e del numero di Reynolds si misuravano le cadute ole cui era possibile visualizzare ai valori di λ e si costruivano le curve $\lambda(Re)$

$$\zeta_0 = f(D, U, \mu, \rho, d) \quad \text{quindi} \quad \frac{\zeta_0}{\rho U^2} = f(Re, \frac{d}{D})$$

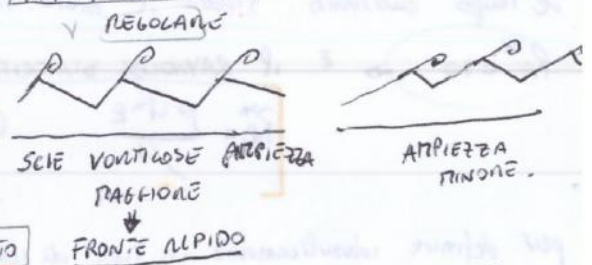
\Rightarrow i TUBI COME AGLI SONO: d_f \rightarrow $A_{f,1}$ \rightarrow ΔP \rightarrow $\frac{\Delta P}{A_f}$ \rightarrow SOMMIGLENZA

per impianti tecnici hanno scabrezze di tipo diverso

calcolo le J dei tubi da Δ leggo $J \rightarrow S-L$

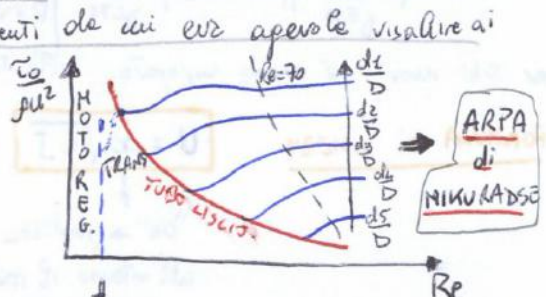
L'effetto della scabrezza è identico per l'altra e lo riconfermo per via idraulica e quindi l'effetto della scabrezza è uguale a quello di NIKURADSE con diametro d .

($E = 1 \mu m$ non è che la scabrezza è alta $1 \mu m$ ma sono le sfere alte $1 \mu m$)



FRONTE RIPIDO

d \rightarrow FUBO di NIKURADSE



tanto più è lunga quanto più piccola è la scabrezza relativa cioè le singole serie di esperienze

Dopo in primo tratto avendoti $\lambda(Re)$ le curve con $d = \text{cost}$ tendono a disporvi orizzontali $\lambda = \text{cost}$ MOTORE TURBANTE TURBOLENTO ma c'è viscosità $[Re^* = \frac{U^* d}{\nu} = 70]$ U^* velocità d'attrito

PERDITE DI CARICO CONCENTRATE (LOCALIZZATE)

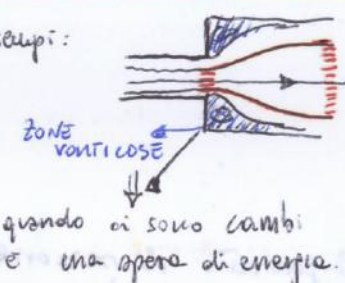
L'IMPORTANZA dello studio di queste situazioni sta nel fatto che esse sono quasi sempre caratterizzate da un intensa dissipazione di energie e quindi da un brusco abbassamento della linea dei carichi totali → (di norma per un distacco della rete fluida dalla parete, è accompagnato dalle formazioni di zone dove ha luogo un'intensa agitazione vorticosa di massa fluida).

Inoltre a valle di queste zone si hanno tratti di corrente fortemente retardata, dove il fenomeno turbolento acquista importanza.

Queste perdite di carico non distribuite, danno lungo il mio tubo una quantità di energia in cui vedo uscire $J = \frac{dH}{ds}$. Abbiamo tirato fuori il concetto di corrente qualsiasi variate in cui abbiamo detto che c'era variazione di pressione e abbiamo tirato fuori le varie formule.

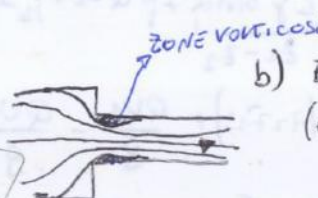
DIVENTANO IMPORTANTI le CURVATURE DELLE TRAIETTORIE

Iani Escapi:



a) BRUSCO ALLARGAMENTO delle SEZIONI della condotta

→ CAMBIO di GEOMETRIA per passare questa resistenza dovo spendere energie aggiuntive



b) BRUSCO NESSINIMENTO (è differente dal precedente).



c) BRUSCO CAMBIAMENTO di DIREZIONE

Le dissipazioni di energia di cui ora mi è detto vengono designate come PERDITE DI CARICO LOCALIZZATE, per contraddistinguere dalle perdite continue che si hanno lungo i tratti di corrente in moto uniforme e che traggono la loro prima origine dalla resistenza opposta al movimento delle pareti della condotta. Anche se le condotte non sono lunghe le perdite localizzate non sono trascurabili.

Potrei mettere un manometro differentiale prima e dopo, leggo a ricavo δ e per differenze trovo h .

→ CONCENTRATE (LOCALIZZATE) cioè che le concentra in un'unica sezione → perciò di solito non vi hanno lunghezze piccole in confronto alle lunghezze del tubo.

LE PERDITE di CARICO sono un coefficiente per un termine cinetico (tenendo conto delle dissipazioni di energia dovute al fatto turbolento particolarmente intenso, esse devono risultare omologabili a quelle che caratterizzano il moto puramente turbolento e perciò proporzionali ai quadrati delle velocità in pioco) espresse:

$$\Delta H = \rho \frac{V^2}{2g}$$

ρ → coefficiente numerico → costante (aperto ≈ 1)

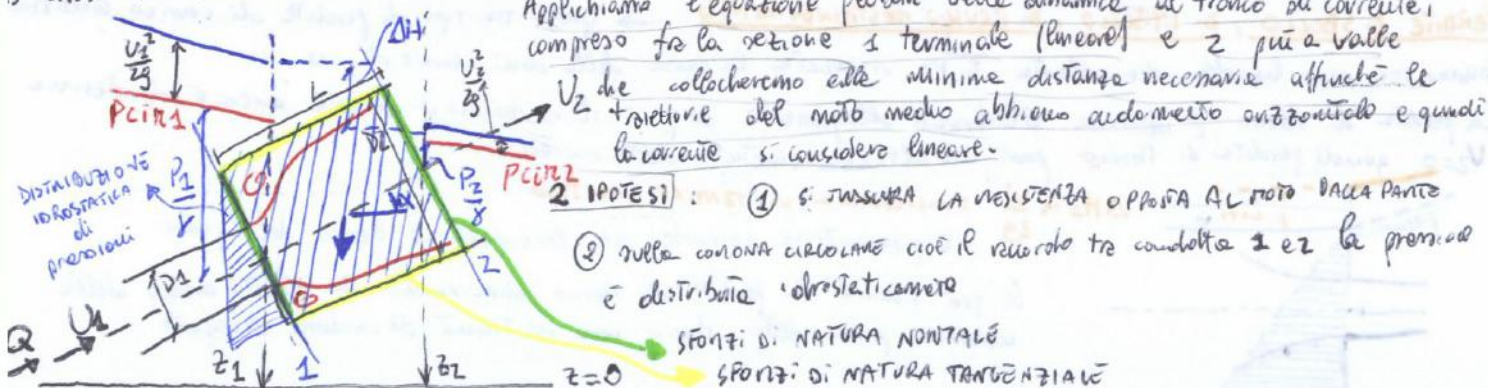
→ solo se Reynolds (Re) molto bassi ρ può diventare funzione di Re se cresce Re decresce ρ .

IMPORANTE QUANTO VALE IL SALTO

se BRUSCO ALLARGAMENTO → LA PERDITA DI CARICO ΔH non può dipendere dall'inclinazione della condotta.

Applichiamo l'equazione globale delle dinamiche al tronco di corrente compreso fra la sezione 1 terminale (lineare) e 2 più a valle

V_2 che calcoleremo essere minima distanza necessaria affinché le traiettorie del moto medio abbiano andamento orizzontale e quindi le correnti si considerino lineari.



- 2 IPOTESI:
- 1) si misura la resistenza opposta al moto dalla parte 1 sulla corona circolare cioè il recorso tra condotta 1 e 2 la pressione è distribuita obiettivamente
 - 2) sulla corona circolare cioè il recorso tra condotta 1 e 2 la pressione è distribuita obiettivamente

Un po' più complessa la situazione che si presenta all'imbocco di una condotta, quando l'imbocco sia realizzato a spirale vivo → si ha una contrazione della rete liquida, le perdite del canale all'imbocco con spirale vivo è $AH = 0,5 \frac{U^2}{2g}$ (dipende dal valore del coefficiente di contrazione $C_c = 0,61$)

uso delle formule precedentemente viste

Energia che spendono per attrito o per moto turbolento:

FORMULA (TIPO D'ARCY) $J = \beta \frac{Q^2}{Dn}$ $n \approx 5$ (intorno di 5)

$$\left[\lambda = \frac{64}{Re} \right] \text{ MOTO LAMINARE} \quad (\text{per calcolare l'energia})$$

$$\left[\lambda = 0,316 Re^{-0,25} \right] \text{ MOTO TURBOLENTO}$$

β è dato da questo valore ed è indicato dalle tabelle e viene anche dal materiale.

Le perdite di canale distribuite sono date da $J \cdot \Theta \rightarrow$ LUNGHEZZA del tubo

Le dissipazioni e perdite di canale concentrate avvengono in una sezione ben precisa.

PERDITE DI CANALE NEL BRUSCO ALLARGAMENTO DI PRESSIONE VACE!

per tutte le perdite di canale concentrate sono date

da un coefficiente di perdita $\Delta H = f \frac{U^2}{2g}$ quando c'è brusco ristinamento di solito metto U_2 c'è allungamento metto U_1

$$\Delta H = \frac{(U_1 - U_2)^2}{2g} \quad U_1, U_2 = U_1, U_2$$

La dissipazione avviene nel serbatoio e il fluido arriva con un determinato termine cinetico che dipende dal termine cinetico dell'acqua e delle sue condotte. Perdite di canale lungo il serbatoio perché le particelle sbattono contro le pareti.

RICORDARE: LINEA DEI CARICHI ASSOLUTI SCENDE, LINEA DI CARICO PIEZOMETRICO SALE

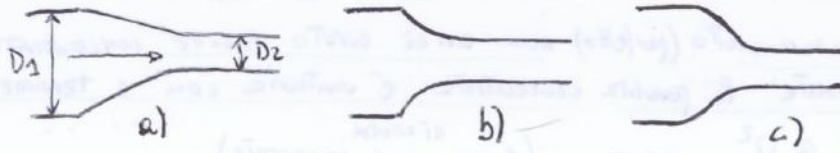
↓
PERDITA DI CARICO

↓
RECUPERO DI CARICO CON UN DIFFUSORE

DIVERGENTI E CONVERGENTI

I tronchi di condotte gradualmente convergenti non danno perdite di carico LOCALIZZATE perché nelle correnti accelerate si ha una attenuazione dei fatti turbolenti.

CONVERGENTI



a) LUOGO A DISTANZA SUBITO A VALLE DELLA SUA SEZIONE TERMINALE

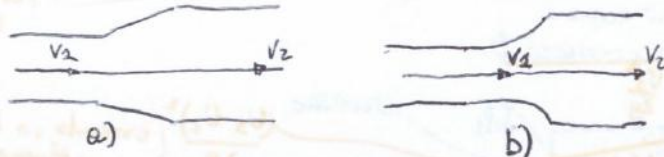
b) È IL PROFILLO RISULTANTE PER LE PERDITE MINORI CONCENTRATI

c) IL REGOLAZIONE FUNZIONAMENTO DI UN CONVERGENTE

In approssimazioni e in genere non trascurabili sono le perdite localizzate nei divergenti:

dove i distacchi di rete non possono particolarmente essere evitati

DIVERGENTI



Tutti i nostri sistemi di regolazione sono sistemi di perdite di canale concentrata (AVVAINETTI ecc...)

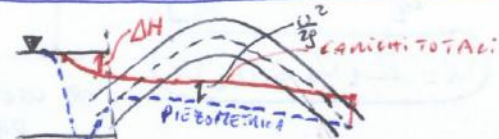
BRUSCO ALLARGAMENTO → IMBALLO A SPIRALE VIVO → perdite circa 1/2 TERMINE CINETICO.

LINIE DEI CARICHI → NELE (EQ. DI STOKES) → se avviene invce tutto in una sezione sono concentrati.

LINIE DI CARICO TOTALI → ROSE → perdendo 1/2 termine cinetico sotto di un termine cinetico c'è IL CARICO PIEZOMETRICO (sezione concentrata)

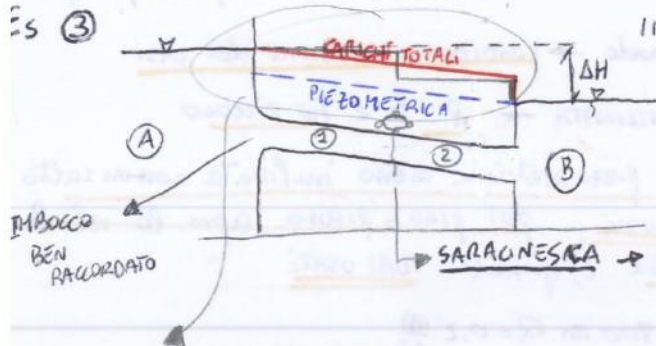
SIFONE → sistemi che fanno passare l'acqua da una parte all'altra.

Il profilo b) è preferibile all'a) perché in quest'ultimo, il distacco ha luogo subito a valle della sezione iniziale mentre nel b) si verifica più avalllo dopo che la corrente ha più subito in certi valori meno.



Quando parlo di PELLO LIBERO over SERBATOIO due le le il PIENO over CARICO immagazzinato rispetto
dove le PRESSIONI sono uguali a zero. (INIZIO CONDOTTA c'è un punto di quella condotta, alla
fine c'è un altro punto dove $P=0$).

Es (3)



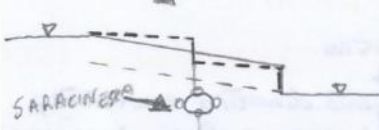
IMBOCCO BEN RACCORDATO SERBATOIO A

$$\Delta H = \beta \frac{Q^2}{D^n} l + \frac{V^2}{2g}$$

$$\Delta H = \beta \frac{Q_{\text{NEW}}^2}{D^n} l_1 + \delta + \beta \frac{Q_{\text{NEW}}^2}{D^n} l_2 + \frac{V_{\text{NEW}}^2}{2g} \quad \text{CON SARACINESCA}$$

SARACINESCA → chiude le condotte → perdite di carico concentrata →

→ la PONTATA diminuisce



Se chiudi la SARACINESCA

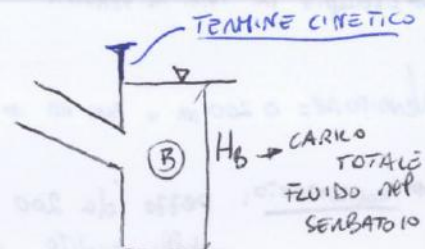
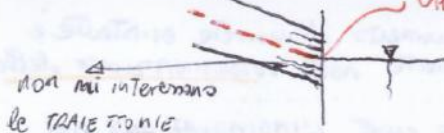
→ RICORDA

→ non mi interveranno le TRAIETTORIE (è una CORRENTE)

V_{MEDIA} → avrei del condotto non che z ho.

$$\alpha \approx 1$$

→ con le correnti non distinguiamo le particelle.



Es (4) PROBLEMI PRATICI RELATIVI ALLE LUNGHE CONDOTTE

LUNGHE e BREVI CONDOTTE

Perdite di carico concentrata → ordine di grandezze del termine cinetico $\frac{V^2}{2g}$

Perdite di carico distribuite → lunghezza del tubo l → ordine di grandezza $J \cdot l$.

Quindi: $\frac{V^2}{2g} = J \cdot l$ si equivalgono → dobbiamo mettere in conto tutte e due.

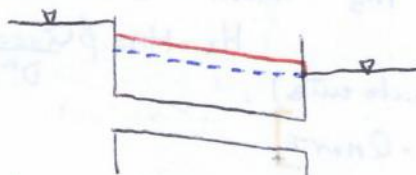
$$\lambda = \frac{DJ}{\frac{V^2}{2g}} \quad J = \frac{\lambda}{D} \frac{V^2}{2g} \quad \frac{V^2}{2g} = \frac{\lambda}{D} \frac{V^2}{2g} \cdot l \quad \text{hanno lo stesso valore} \quad \frac{\lambda}{D} l = 1 \Rightarrow l = \frac{1}{\lambda} D$$

$$\lambda = 0,025 \Leftrightarrow l = 40 D \quad \Rightarrow l = \text{decime di diametri} \rightarrow \text{si equivalgono se metto in gioco entrambe}$$

PENDITE DI CARICO CONCENTRATA = PENDITE DISTRIBUITA

Nelle LUNGHE condotte le perdite di carico concentrata (localizzate) diventano piccole rispetto alle distribuite, quando $\frac{l}{100}$ perdite concentrate rispetto alle distribuite ($l=4000D$) cioè sono trascurabili.

Nelle BREVI condotte è il contrario cioè sono maggiori le concentrate ma le distribuite sono equivalenti.

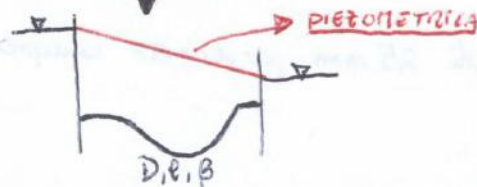


$$\Delta H = 0,5 \frac{V^2}{2g} + J \cdot l + \alpha \frac{V^2}{2g}$$

$$\Delta H = 0,5 \frac{V^2}{2g} + J \cdot l + \alpha \frac{V^2}{2g}$$

Hoi PARLAVANO solo di LUNGHE CONDOTTE

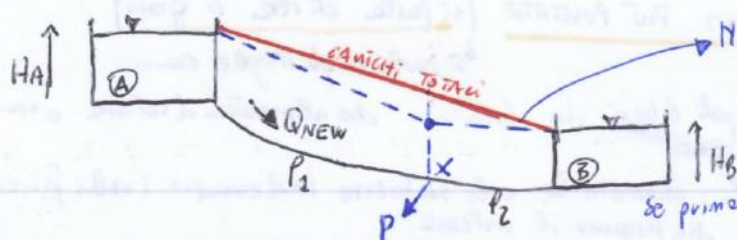
↓
Mi ne ripropongo i problemi,
i disegni e i calcoli



→ quindi sappiamo che nelle lunghe condotte:

$$\Delta H = \beta \frac{Q^2}{D^n} P$$

Es PONTATA D'ESTENGENZA



Nuova piezometrica: abbassa → si abbassa la portata Q_{NEW} perché esce $Q-P$ il fluido.

(B) è formato solo da (A) perché l'acqua esce?

$$\Delta H = H_A - H_x = H_A - H_B = \beta \frac{Q^2}{D^n} l_1 = \beta \frac{P^2}{D^n} l_1 \rightarrow P$$

Es ⑦ CONDOTTA A DIAMETRO COSTANTE EROZIONE UNIFORME LUNGO IL PERCORSO

Diametro costante D è interno il tronco AB di lunghezza l , erogazione uniformemente distribuita con portata q per unità di lunghezza della condotta quindi $P = q l$ (portata per unità di lunghezza). Alla sezione iniziale A arriva $Q > P$ che occupa il canale piezometrico H_A determinando l'aeramento piezometrico lungo AB e in particolare il canale H_B all'estremo di rete. $D = \text{cost}$, se diminuisce la portata diminuisce la velocità.

Indichiamo con x la distanza di una generica sezione da quella iniziale A → in essa la portata vale $Q - qx$ lungo il tronco di lunghezza dx ed a volte $x + dx$, la piezometrica subisce abbassamento.

I resti sono TIPO: FONTANA, IMPIANTI DI IRRIGAZIONE, DORSALE, INGRESSO VANI PALAZZI. Per un tetto ci sono tanti fori da cui esce una portata P . $q = \frac{P}{l}$ → portata per unità di lunghezza

$$dH_x = \beta \frac{(Q - qx)^2}{D^n} dx \quad \text{otteniamo } H_x = \text{integrandi} \rightarrow H_x = H_A - \int_0^x \frac{\beta (Q - qx)^2}{D^n} dx \rightarrow \text{il carico in } x \text{ è uguale al carico in A meno quello che perde tra A e } x.$$

$$\left[H_x = H_A - \frac{\beta}{D^n} \times \left[Q^2 + \frac{(qx)^2}{3} - Qqx \right] \right] \quad \text{quindi la piezometrica è un arco di parabola cubica e le tangenti agli estremi A e B hanno pendente pari alle sezioni: } J_A = \beta \frac{Q^2}{D^n} \quad J_B = \beta \frac{(Q-P)^2}{D^n}$$

Quanto vale il carico in B all'estremo di rete e si ottiene ponendo $x = l$ e vale:

$$\left[H_B = H_A - \frac{\beta}{D^n} l \left[Q^2 + \frac{P^2}{3} - QP \right] \right]$$

Azi Panicolari:

Se la portata in arrivo è completamente distribuita lungo il percorso ($Q = P$) si ottiene:

$$\left[H_B = H_A - \frac{1}{3} \beta \frac{Q^2}{D^n} l \right]$$

LA PERTUTTA È UN $\frac{1}{3}$ (COSTO ENERGETICO) rispetto alla portata se fosse portata senza perdite evaporate che sarebbe $\frac{\beta Q^2}{D^n} l$

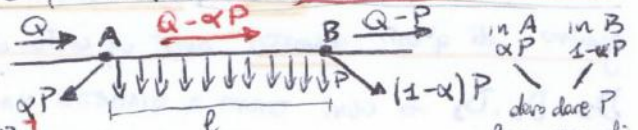
Invece di avere una evaporazione distribuita le concentra in A e in B. → CORPODO PER LA PROGETTAZIONE → mi rende più semplice il DIREZIONAMENTO DELLE RETI EROZIONI CONCENTRATA AI DUE ESTREMI

Perdita nel tratto AB se ci sono perdite concentrate è

$$\left[Q^2 + \frac{P^2}{3} - QP = (Q - \alpha P)^2 \right] \text{ eq. di 20 GRADI}$$

$$\left[\alpha = \delta - \sqrt{\delta^2 + \frac{1}{3}} - \delta \right]$$

per $\delta = 0,5 \rightarrow$ portata un po' in A e un po' in B.



ho scartato la soluzione per cui risulta $\alpha > 1$.



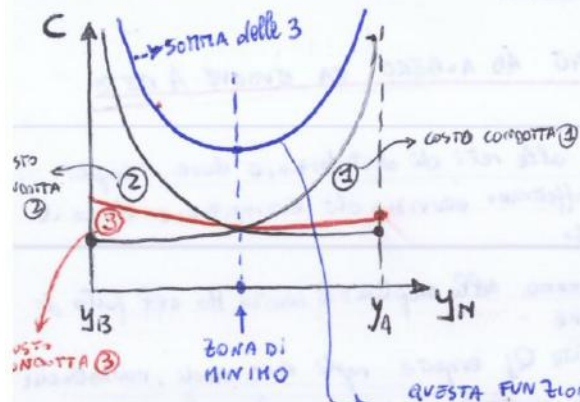
IL TOTALE È: $C = c_1 D_1^{\alpha} f_1 + c_2 D_2^{\alpha} f_2 + c_3 D_3^{\alpha} f_3$ \Rightarrow il costo è minimo quando la derivata è zero.

4^ EQUAZIONE

$$\frac{dC}{dy_N} = 0$$

DERIVATA C rispetto ad y_N che risale rispetto ai 3 diametri \rightarrow ogni diametro ha un costo.

Potrebbe anche esserci un MASSIMO:



$y_N = y_B$ la condotta avrà un certo raffre

$y_N = y_A = 0$ piezometrica orizzontale dovrà avere una condotta pur priva all'infinito e quindi il costo è maggiore (y_N più piccolo possibile ①).

$y_N = y_B$ il diametro tende all'infinito quindi lo raffre più alto possibile ②

Il primo membro è $\neq 0$ per qualsiasi raffre di y_N ③

QUESTA FUNZIONE È

\hookrightarrow È PIÙ P.ATTA \rightarrow IL COSTO VARIANDO DIAMETRI O LATITURA RISULTA AL MINIMO MA NON CAMBIA MOLTO.

SI ARRIVA:

$$\left[\sum_i \frac{c_i}{f_i} \frac{D_i^{\alpha+n}}{Q_i^2} = \sum_i \frac{c_i}{f_i} \frac{D_i^{\alpha+n}}{Q_i^2} \right] \Rightarrow \underline{4^{\text{a}} \text{ EQUAZIONE}} \quad (\text{per gli } n \text{ verbato i})$$

Se c'è STESO COSTO è STESSA SLABNETTA

$$\sum \frac{D_i^{\alpha+n}}{Q_i^2} = \sum \frac{D_j^{\alpha+n}}{Q_j^2}$$

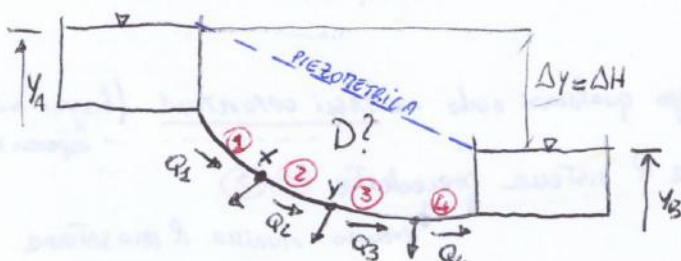
$$f_1 = f_2 = f_3 \quad c_1 = c_2 = c_3$$

ALTRA FORMULA della 4^

ACQUA agli UTILIZZATORI

Ci sono 4 tratti: NODI: x, y

$$\Delta y = J \cdot \ell = \beta \frac{Q^2}{D^n} \ell$$



PONTATE

$$P_x = Q_1 - Q_2$$

Questo è UN PROBLEMA di PROGETTO CON EROGAZIONI CONCENTRATE (cioè conoscere D_1, D_2, D_3, \dots)

$$P_y = Q_2 - Q_3$$

Questo Δy lo distribuisco in tutte le portate concentrate quindi la sommatoria delle perdite di carica.

$$D_3, \text{ ecc...}$$

$$\Delta y = \sum \beta_i \frac{Q_i^2}{D_i^n} \ell_i \rightarrow \text{HO 4 DIAMETRI PER UNA EAUZIONE È UN POCO POCO MA HO LA CONDIZIONE DI MINIMO COSTO.}$$

Hi INTERESSA LA CONDOTTA CON I VARI RICHI, CHE NON MI SONO COSTATI NELLA FASE, QUELLO CHE FANNO DOPO LE PONTATE USCENTI NON MI INTERESSA.

EQ di MINIMO COSTO:

$$\frac{D_1^{\alpha+n}}{Q_1^2} = \frac{D_2^{\alpha+n}}{Q_2^2} = \frac{D_3^{\alpha+n}}{Q_3^2} = \frac{D_4^{\alpha+n}}{Q_4^2} = K \rightarrow \text{COSTANTE LUNGO LA NOSTRA CONDOTTA}$$

AGGRUPPIAMENTO PONTATE ENTRANTI IN X NA CONDUTTURA PONTATE USCENTI IN X NA CONDUTTURA PONTATE ENTRANTI IN Y NA CONDUTTURA PONTATE USCENTI IN Y

$$D_i^6 = K Q_i^2 \Rightarrow \sqrt[6]{K} \sqrt[6]{Q_i^2} \Rightarrow D_i = K^{1/3} \sqrt[3]{Q_i}$$

$$\Delta y = \frac{\beta}{K^{1/3}} \sum Q_i^{4/3} f_i \quad K'' = \beta \frac{\sum Q_i^{4/3} f_i}{\Delta y}$$

$\alpha=1$ e $n=5$ quindi è una potenza di 6 quindi

$$\text{da cui: } \Delta y = \sum \beta \frac{Q_i^2}{D_i^5} f_i = \sum \beta \frac{Q_i^2}{K^{15} Q_i^{1/3}} f_i = \sum \beta \frac{Q_i^2}{K^{15}} \rightarrow K''$$

dalla 6^ calcoliamo il K'' e poi il K . dato che K ci calcoliamo il DIAMETRO TEORICO

→ RIPRESA LEGGI KIRCHOFF → $\Delta h_i = \beta \frac{Q_i^2}{D_i} l_i = r_i Q_i^2$

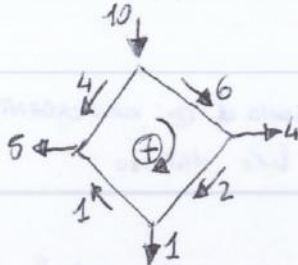
Δh → $\frac{\Delta V}{l_{\text{diff di POTENZIALE}}}$ → $R_I \rightarrow \text{COSTANTE}$ → RESISTENZA

Analogia tra idraulica e elettronica (differenza di POTENZIALE)

RISOLVANO questo PROBLEMA con

IL METODO di KROSS

→ visolrendo le eq a mettere per bilanciare e capire come funziona la mia rete posso trovare tante soluzioni di partate estratti ed usciti! Distribuzione portata arbitaria → soddisfa l'eq di continuità



$$\begin{cases} P_1 = Q_1 + Q_S \\ Q_1 = P_3 + Q_2 \\ \sum \Delta h_i = 0 \end{cases}$$

QUESTA DI DICE QUALÒ
È IL SISTEMA PIÙ PROBABILE

→ STABILISCO UNA PONTATA DI 1° TENTATIVO

$$Q_i = Q_i^1 + Q_e^1$$

PONTATA CORRETTA
PREFISSATA PER L'ESITO LATO
che de le PONTATE CHE HO SCELTO SONO GIUSTE E BENE SE NO ≠ 0

→ devo dire che:

$$\sum r_i Q_i^2 = 0 = \sum r_i (Q_i + Q_e^1)^2 = 0$$

$$\sum r_i Q_i^{12} + 2 \sum r_i Q_i Q_e^1 + \sum r_i Q_e^{12} = 0 \rightarrow \text{ne ho SCELTO BENE LE PONTATE INIZIALI ALLORA SALTA}$$

MOLTO PICCOLO QUINDI TRASCURABILE

$$Q_e^1 = - \frac{\sum r_i Q_i^2}{2 \sum r_i Q_i}$$

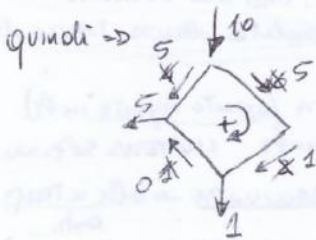
→ Le PONTATE di 1° TENTATIVO CORRETTA NON DEDICO
ITERANZE 3 o 4 VOLTE MI fermere quando il Q_e è
più piccolo del mio sistema di riferimento

→ Supponiamo che la rete sia simmetrica quindi che abbia diametri uguali ecc... quindi
 $r_i \neq 0$ mettiamo PONTATE POSITIVE O NEGATIVE $Q_i = Q_i / |Q_i|$ NORMALIZZAZIONE $Q_e = \frac{Q_e / |Q_i|}{|Q_i|}$ DENOMINATORE

$$Q_e^1 = - \frac{6^2 + 2^2 + 1^2 - 4^2}{2(6+2+1+4)} = \frac{36 + 4 + 1 - 16}{26} = - \frac{25}{26} = -1$$

CORREZIONE di -1
per le PONTATE

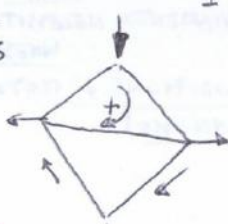
RATIO 1,2,3 (6,2,1)
TENTATIVA POSITIVA
RATIO 4 NEGATIVO



SECONDO TENTATIVO

$$Q_e^{11} = - \frac{5^2 + 1^2 + 0^2 - 5^2}{2(5+1+0+5)} = - \frac{1}{22}$$

Es



TROVA LE PONTATE DELLA 1ª MAGLIA Poi PASSO ALLA SECONDA MAGLIA E TROVO LE
PONTATE DELLA SECONDA → CORREGGO LA PRIMA CON QUESTE E TROVO Q_e^1

Problemi Asimmetrici per le condotte

→ Lunghe condotte posate nel terreno è buona pratica che il profilo della tubazione si mantenga al di sotto non solo della piezometrica assoluta ma anche di quella relativa. L'esistenza di tratti in depressione detentiva la seppurazione dei gas dissolti nel liquido e può provocare l'entrata di materie fluite dall'esterno, le quali portano inquinamento del liquido trasportato soprattutto per condutture di acqua potabile. Fondazione di tranchi in depressione tenuta presenti nello studio di lunghe condotte e con possibilità di variazioni di livelli è di costr. di labete.

Nel progettare i nostri sistemi non ci interessa l'inclinazione delle nostre condotte (me parlavo di sifone) bisogna capire quando l'asse delle condotte interseca la piezometrica

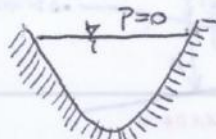
Per conoscere più esatto → perdite più piccole Ma i tubi passano dove ne sono a passare quindi se tolte pure dove può passare e non è procedere col ex volte può incoraggiare il cielo piezometrico

CORRENTI A PELO LIBERO (A SUPERFICIE LIBERA)

La domanda che ci poniamo mentalmente è: quale delle correnti in presenza cioè quante energie ci vuole?

Queste correnti sono correnti idriche che percorrono i corsi d'acqua naturali (fiumi, torrenti) o i canali artificiali (oli bonifici, irrigazione, fognature, impianti idroellettrici, di navigazione interna).

Anche se il fluido è incompressibile il fluido è libero di muoversi



Il modello è lo stesso per quelle in presenza entro un rete di usare le equazioni di NAVIER-STOKES:

METÀ DEL CONTORNO NON A CONTATTO CON UNA SUP. SOLIDA MA CON UN GAS CHE NEIL CASO PIÙ GENERALE È L'ATMOSFERA → SUP. LIBERA O PELO LIBERO

$$\left[\rho \left(\vec{F} - \frac{D\vec{U}}{Dt} \right) = \text{grad } p - \mu \Delta z \vec{U} \right] \xrightarrow{\text{NON CIRCOLARITÀ}}$$

Non sono semplici da usare perché sono in TORBOLENTI e quindi ci sono le TESSUTE e tutto ciò che comprende la TURBOLENTA.

Una parte del contorno non so dove è e perché non può alzare o abbassare cambia la distribuzione di pressioni.

SEMPLIFICAZIONI → Troveremo dei modelli per semplificare l'equazione di STOKES con DE SAINT-VENANT:

→ posso trarre le grandezze di Δ e p → INIZIAZIONE MONODIMENSIONALE

→ correnti gradualmente variate cioè che le nostre curvature molto deboli quindi si può postare legg. di EULER LUNGO L'ASSE (INIZIAZIONE MONODIMENSIONALE LUNGO s e t).
ASCISSA CARICA s

→ INOLTRE SO che la quota del pelo libero di una genérica sezione, definire un profilo longitudinale del pelo libero, oppure profilo del pelo libero come linea d'intervento delle sup. libere con il cilindro a penne verticali rettilinee costituente una generica traiettoria.

$$h = z + \frac{P}{\rho g} = \text{cost} \quad \text{perpendicolare al mio metà (trasversale)}$$

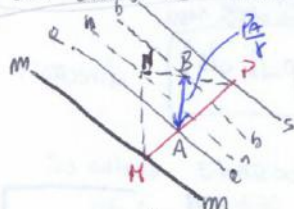
Comunque sia fatto il profilo di rebocco c'è una velocità U tale per cui si può costruire un carico totale

$$\text{in cui } U = U(s, t) = \frac{Q(s, t)}{A(s, t)}$$

$$H = h + \frac{U^2}{2g}$$

è CINTA PARI AD I
ossia solo turbolento.

Supponiamo che la pendente dell'albero in cui si muore le correnti e quindi la pendente di tutte le traiettorie siano piccole anti insensibili e sono assimilabili ai piani orizzontali → PICCOLE PENDENTI. Quando abbiamo una conseguente → consideriamo una CONTENTE VAGHE per cui l'ipotesi stessa nulla significa in cui cioè le traiettorie sono inclinate rispetto all'orizzontale.



m-m → traccia del fondo dell'albero
s-s → il profilo del pelo libero
H-P → linea di me sezione trasversale
a-a → generica traiettoria.

Se troviamo le linee pietométriche delle traiettorie m-m che lambiscono il fondo dell'albero, troviamo n-n per il piano del fondo dei canali idrostatici che sussiste verticalmente al punto M e che è ben distinta dalla traiettoria del punto H.

In fine la linea pietometrica di una traiettoria coincide con il pelo libero e (s-s) perché altera la pietometria. Che sulla

cercheremo la pietometria relativa a queste traiettorie; considero il punto A in cui interseca (H) verso l'alto AB perciò all'altezza pietometrica la cui è l'altezza verticale di A sotto il piano dei canali idrostatici relativi alle rette, che è il piano orizzontale passante per P a press. atm. La linea pietometrica cerca la b-b passante per B, e la potremo tracciare per intero.

→ PROIEZIONE NELLA DIREZIONE DEL MOTORE

le forze saranno di massa e di superficie

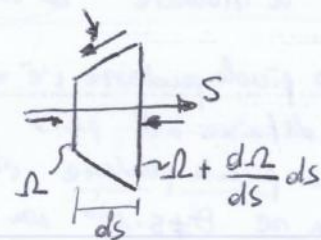
FORZE DI PESO $\vec{G} = \rho g \cdot \Omega ds \sin \theta = -\rho g \Omega ds \frac{dzf}{ds}$

FORZE DI SUPERFICIE

Le forze di superficie sono quelle normali e tangenziali. Sulle forze \vec{T}_L e \vec{T}_T . Le forze indotte del moto sono quelle normali.

Sulle pareti invece abbiamo che le tangenziali che sono normali (perché Ω non è costante da varia)

$$F = m \cdot \ddot{u} \rightarrow \frac{du}{dt} + u \frac{du}{ds}$$



REGOLE 1 ENTRO:

FORZE DI NATURA NORMALE

FACCIA 1 EZ:

$$\vec{T}_L = p \vec{\Omega}$$

$$-\vec{T}_T = p \vec{\Omega} + \frac{\partial p \vec{\Omega}}{\partial s} ds = p \vec{\Omega} + p \frac{\partial \vec{\Omega}}{\partial s} ds + \vec{\Omega} \frac{\partial p}{\partial s} ds$$

MANCANO gli sforzi DI NATURA NORMALE e TANGENZIALE:

• NORMALE $\left[\vec{T}_L = p \frac{\partial \vec{\Omega}}{\partial s} ds \right]$ SFORZI DI NATURA NORMALE, è come prendere le pressioni del moto e moltiplicarle per la superficie

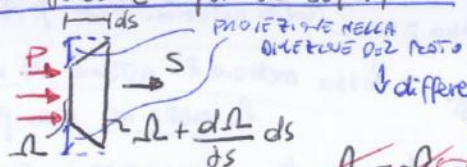
Allora la pressione per quell'area mi dà gli sforzi delle sup. laterali cioè: gli sforzi normali

TANGENZIALE

$$\vec{T}_T = -\vec{\nabla} (p ds) \quad \text{ANZA}$$

OPPOSTI AL MOTORE
GENEROVO
SPORZO NELL'INT. BAGNATO
PUNTO
(TENSIONE TANGENZIALE)

CONTORNO



Δ - Δ $\frac{\partial \vec{\Omega}}{\partial s} ds$ *

Differenza tra le 2 sezioni
delle geometrie
del sistema

Per ora mettere insieme tutte queste forze per NEWTON $F = m \cdot \ddot{u}$ (somme delle forze):

$$\sum F \Rightarrow -\rho g \Omega ds \frac{dzf}{ds} + p \vec{\Omega} - p \vec{\Omega} - p \frac{\partial p}{\partial s} ds + p \frac{\partial \vec{\Omega}}{\partial s} ds - \gamma_0 \vec{P} ds = p \vec{\Omega} ds \left(\frac{\partial u}{\partial t} + u \frac{\partial u}{\partial s} \right)$$

$$= -\rho g \Omega ds \frac{dzf}{ds} - \Omega \frac{\partial p}{\partial s} ds - \gamma_0 \vec{P} ds = p \vec{\Omega} ds \left(\frac{\partial u}{\partial t} + u \frac{\partial u}{\partial s} \right)$$

Divido per $\rho \vec{\Omega} ds$ e vedo $\rho g = \gamma$ $\Rightarrow \frac{dzf}{ds} + \frac{1}{\gamma} \frac{\partial p}{\partial s} + \frac{1}{\gamma} u \frac{\partial u}{\partial s} = -\frac{1}{\gamma} \frac{\partial u}{\partial t} - \frac{\gamma_0}{\gamma R} \vec{J} \Rightarrow$ cioè

$$\gamma_0 = \gamma R J \quad \text{e avrò: } \frac{dzf}{ds} + \frac{1}{\gamma} \frac{\partial p}{\partial s} + \frac{1}{\gamma} u \frac{\partial u}{\partial s} = -\frac{1}{\gamma} \frac{\partial u}{\partial t} - J$$

$$\frac{dh}{ds} + \frac{1}{\gamma} u \frac{\partial u}{\partial s} + \frac{1}{\gamma} \frac{\partial u}{\partial t} = -J$$

Infine con l'ipotesi delle PICCOLE VARIAZIONI:

$$h = z_f + Y \Rightarrow \frac{dh}{ds} = \frac{\partial z_f}{\partial s} + \frac{\partial Y}{\partial s}$$

$-i_f \rightarrow$ penitenza del fondo

$$\boxed{\frac{\partial z_f}{\partial s} + \frac{1}{\gamma} \frac{\partial u}{\partial t} = -J}$$

VARIAZIONE LATERALE
TOTALE
VARIAZIONE DI NOTA DEL PESO
penitenza di canico

FORMULA FINALE: $\frac{dh}{ds} - \frac{u}{\gamma} \frac{\partial u}{\partial s} + \frac{1}{\gamma} \frac{\partial u}{\partial t} = -J$

energia che sposta perpendicolarmente un punto all'altro,

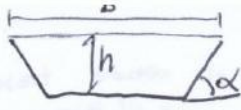
EQ. DI DE SAINT-VENANT

se la altezza del fondo riguardo dal fondo non varia

$$\frac{\partial Y}{\partial s} = 0$$

penitenza del fondo

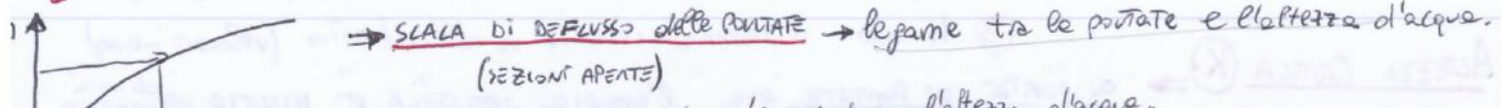
penitenza che da la misura della media minore meno l'altezza distipata

\Rightarrow Escavato  INCLINAZIONE \rightarrow questa inclinazione ne fa da il tipo di TERRENO che mi dà che quanto il terreno regge ad una PINTA con una certa inclinazione per non fonderne.

3 dipende dalla storia e della necessità cioè ha delle costituzioni vicine a B e non possono fare convergere le SEZIONI DI PUNTO CAVO:

CONSIDERAZIONE Supponiamo di conoscere sezioni, geometria ed inclinazioni abbiamo:

$$Q = L \cdot V = L \times \sqrt{R \cdot h} \Rightarrow Q = f(h) \quad (\text{FUNZIONE di } h) = a \cdot h^b \quad \text{dove } b \approx \frac{3}{2} \div \frac{5}{3}$$



Iononeino \rightarrow metri che misura l'altezza d'acqua.

Se conosciamo h mi danno a h conoscendo la portata d'acqua di un fiume \rightarrow SCALA DI DEFLOSSO di Q \rightarrow fissare l'altro verso la portata

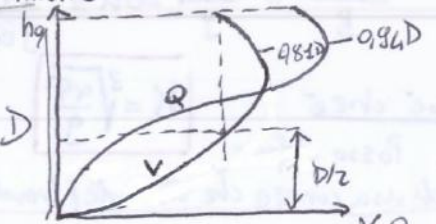
Non tutte le sezioni sono a pelo libero come vogliamo noi ma sono chiuse anche sopra tipico delle FOGNATURE e acque sotto i punti CINCOLANTI: $L = \frac{1}{2} r^2 (\phi - \sin \phi)$ $R = \frac{L}{C} = \frac{1}{2} r / \sqrt{1 - \frac{\sin \phi}{\phi}}$



(ϕ) è un TRASSIZZO del Raggio idraulico $R_{MAX} = \frac{1}{2} r \cdot P = r \phi$
il raggio idraulico ormai è lineare con l'altezza
essa rappresenta il massimo grado $\sin \phi \Rightarrow$ e questo si ha ad una altezza di $981D$
Questo significa che ad una altezza di $981D$ la portata ha un PAX e poi inizia a diminuire

\rightarrow Come nelle ALLUVIENI, piene grosse:

Forniamo uno SCALA DI PORTATE $V(h)$

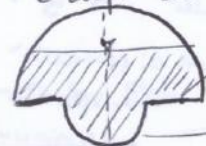


\rightarrow SEZIONE VAI IN PRESSIONE FLUSSO DIVENTA UN TAPPO E LA CAVIA STAGNA, QUANDO IL TAPPO DA $\frac{\sin \phi}{\phi}$ (NON POSSO TENERE L'ACQUA)

\rightarrow quindi si preferiscono neopunti MINORI per evitare condizioni di instabilità

Quel massimo in quelle posizioni è pericoloso un netto per riempire il 6% che manca e dopo ciò si avrà una diminuzione delle portate del 15-20%.

FOGNATURE GRANDI:



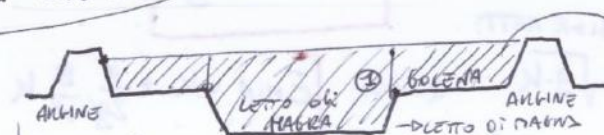
per portare 1500 BONANE

Per smaltire acque nere c.p.e.c.

FOGNATURE PICCOLE?



ALVEI FLUVIALI DI PIANURA (Fiumi)



ZONE GALENALI

in cui il fiume occupa per le piene o le esondazioni

me nelle zone galeinali l'acqua entra solo con SH che ha superato il punto ④ \rightarrow avverte il caos lo bagnato manterrà e la tiene mentre i quelli il rapporto idraulico scende (non è più un sistema monodimensionale)
Come si risolve questo problema? \rightarrow lo si risolve dividendolo in 3 parti quando 3 diverse scale di deflusso e poi le mette insieme.

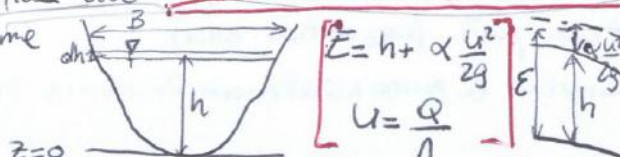
Quando il sistema diventa monodimensionale le regole di monodimensionalità non valgono più.
Nelle piene porterà di erba - pioppi ecc... quindi nelle piene ha sezioni diverse rispetto al letto perché ci sono alberi e vegetazione

PENSANO DI REGOLAMENTO che è la NORMA: modificiamo la geometria

Ha l'energia specifica cioè CARATTERISTICHE ENERGETICHE DEL SISTEMA \rightarrow fissata Q portata può muoversi attraverso l'energetica senza trascurare con più reale dell'altezza h

Prendiamo in esame un canale d'acqua:

h misurata dal punto più basso



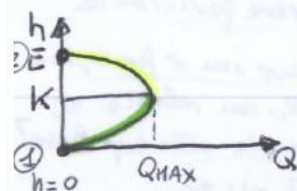
Aumentando h e quindi H diminuisce la velocità media V delle correnti

→ so che all'inizio $E = h + \alpha \frac{Q^2}{2g L^2}$ e se metto $E = \text{cost}$ voglio capire come varia la portata in funzione dell'altezza?

$$\text{viamo } Q \Rightarrow Q = L \sqrt{\frac{2g}{\alpha} (E-h)}$$

se fisso E avrò Q in funzione di h .

Se l'altezza diminuisce la portata diminuisce:



= RAPPORTO CORRENTI LENTI
= RAPPORTO CORRENTI VELOCI

① per $h=0$ $Q \rightarrow \infty$ (ra zero L)

② per $h=E$ $Q=0$ (ra a zero \sqrt{L})

Verifichiamo derivando Q rispetto ad h : $\frac{dQ}{dh} = \sqrt{\frac{2g}{\alpha} (E-h)} \cdot \frac{dL}{dh} - \frac{gL}{\alpha \sqrt{\frac{2g}{\alpha} (E-h)}} = 0$

$$h = E - \frac{L}{2B}$$

per sezioni rettangolari

$$K = E - \frac{k}{2}$$

$$E = \frac{3}{2} k$$

PORTATA MASSIMA QUANDO $h = K$ $\Rightarrow Q_{\max}$ compatibile con l'energia specifica E

Sopra la Q_{\max} l'energia di deflusso E non è sufficiente, ma se ho portata $Q < Q_{\max}$ queste portate defluiscono con due altezze: $h_1 < K$ e $h_2 > K$ in cui $h < K$ correnti veloci e $h > K$ correnti lente.

ALVEI A DEBOLE E FORTE PENDENZA

abbiamo trattato così in cui le modalità del movimento sono gerarchiche e che le corrette sia produzione romane. Ci siamo limitati ad esaminare le relazioni esistenti tra altezze d'acque, U_s specifica e portata.

→ CORRENTI MOTO UNIFORME e che abbiano tutte le caratteristiche idrauliche (i pedassi, subietta)

VALORE DI ALTEZZA FONTE → esiste la legge di Chezy che unisce relazione tra Q e altezza h d'acque.

FISSATA Q rimane h_0 e anche l'altezza critica K che dipende dalla $\frac{A^2}{B} = \frac{\alpha Q^2}{g}$ $U_c = \sqrt{gK}$

Lo è quella che consente la minima energia

$$K = \sqrt{\frac{\alpha g}{g}} h_0$$

ma anche

l'altezza di moto uniforme

$$h_0 \rightarrow$$
 dentro di Chezy

$$Q = L \times \sqrt{Rif}$$

tutte le corrette

per libero identificano K_{ho} ($h_0 \rightarrow$ dipende dalla pendenza del fondo, K non dipende) quindi

ci saranno alvei in cui $K > h_0$ oppure $K = h_0$ oppure $K < h_0$ (basta cambiare la pendenza)

ma la K rimane costante (FISSATO Q)

DIREMO → ALVEI A DEBOLE PENDENZA

→ dare la corrente di moto uniforme è lenta ed è minore di quella dello stato critico ($K < h_0$) (CORRENTE LENTA)

• ALVEI A FORTE PENDENZA

→ dare la corrente di moto uniforme è veloce ed è maggiore di quella dello stato critico ($K > h_0$) (CORRENTE VELOCIA)

• ALVEI A PENDENZA CRITICA

→ quando $K = h_0$ si ha $i_c = \frac{g}{C^2 \alpha}$ $i_c \approx 0,004$

→ Se stiamo in una sezione rettangolare larghe R vale proprio h_0

e la formula di Chezy diventa:

$$i = \sqrt{\frac{\alpha q^2}{g}} \quad q = h_0 \times \sqrt{i_c} \quad i_c = \sqrt{\frac{q^2}{2g}}$$

$\frac{d q^2}{g} = \frac{q^2}{X^2 i_c^2}$

$$i_c = \frac{g}{\alpha X^2}$$

condizioni critiche

Sappiamo che: $K_{ho} + i_f = i_c$ critica

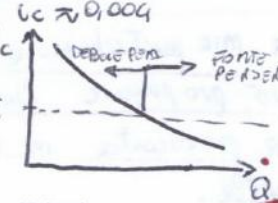
$K > h_0 \rightarrow i_f > i_c$ veloce

$K < h_0 \rightarrow i_c$ lenta

$i_c < 0,004$ DEBOLE PENDENZA $i_f > 0,004$ FORTE PENDENZA

i_c dipende dalla portanza e in linea tecnica diminuisce con l'aumento delle portate

Un altro può essere, con i pedassi corrispondenti, a debole pendente con piccole portate e a forte con portate maggiori



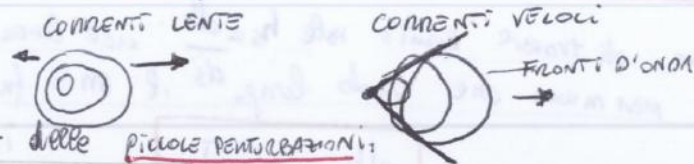
Nel caso di Moto PERTINENTE l'eq. dei profili (cioè quelle di De Saint Venant) diventa:

$$\begin{cases} \frac{dE}{ds} = if - J \\ Q = \text{cost} \end{cases}$$

è una equazione differenziale del 1° ordine con una condizione al contorno che può essere quella con cui vado a perturbare il sistema.

Ma se nono in una corrente rette la condizione al contorno vale solo per quelle che ho a volte. Le correnti veloci si cominciano alle rive e poi vanno a mettere le condizioni al contorno più a mano possibile.

Hanno corretti le correnti rette le condizioni al contorno è in grado di risalire il percorso si dice che sono sotto governato da valle.



Il rapporto tra la velocità e la celerità delle piccole perturbazioni:

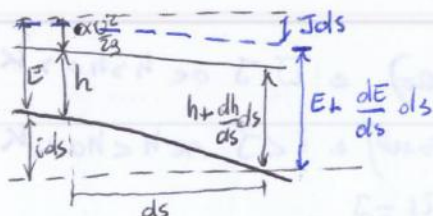
$$Fr = \frac{U}{\sqrt{gh}}$$

NUMERO DI Froude

- > 1 per le correnti veloci
- < 1 per le correnti lente
- $= 1$ quando $U = \sqrt{gh}$

Correnti in Moto PERMANENTE

Consideriamo una corrente in Moto PERMANENTE, percorreva piccole variazioni di altezza graduata. Inoltre $Q = \text{cost}$, corrente sia lineare, cioè che la corrente non ricorda ne percorre fluido lungo il percorso \rightarrow SOLUTO in ds (marco)



Nel moto permanente la LCT, e il fondo non sono più paralleli

L'eq. dei profili:

$$\begin{cases} \frac{dE}{ds} = if - J \\ Q = \text{cost} \end{cases}$$

È UNA EQUAZIONE COMPISSA, perché dato che è retta $E = h + \frac{U^2}{2g} = h + \frac{Q^2}{2gU^2}$

Pero possiamo avere qualcosa nel caso più semplice; è difficile calcolare E perché anche se la Q è costante è difficile calcolare J (sist naturali) questo caso particolare cui E è funzione dello spazio

$$E = E(s, h(s)) = E(h(s))$$

\rightarrow METTENDO IN QUESTO CASO PARTICOLARE MUI E È FUNZIONE DELLO SPAZIO

$$\Rightarrow E(h(s)) \Rightarrow \frac{dE}{ds} = \frac{dE}{dh} \frac{dh}{ds}$$

in modo approssimato così avremo che:

$$\frac{dE}{dh} \frac{dh}{ds} = if - J$$

$$\frac{dh}{ds} = \frac{if - J}{\frac{dE}{dh}}$$

VARIAZIONE DELL'ALTEZZA CHE MI SPOSTO LUNGO LA CORRENTE

ZONIFICAZIONE

$\frac{dE}{dh}$ rispecchia il modo come varia l'energia specifica in funzione dell'altezza nella generica sezione trasversale \rightarrow la E decresce al crescere di h

$(\frac{dE}{dh} < 0)$ per le correnti veloci ($h < k$); crescente ($\frac{dE}{dh} > 0$) per le correnti lente ($h > k$)

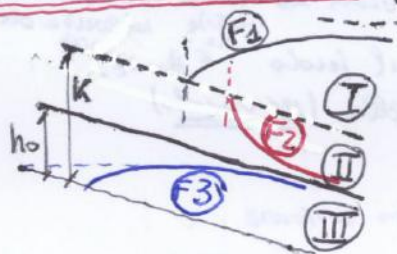
$$\frac{dE}{dh} = 0 \text{ per lo stato critico}$$

NUMERATORI

- $[if - J]$ si annulla in condizioni di moto UNIFORME (fondo parallelo al fiume $i = f$) e $\frac{dh}{ds} = 0$;
- se $\frac{dh}{ds} > 0$ PELO LIBERO SI ALLONTANA DAL FONDO, ALLORA UNA CORRENTE ATTENDATA PERMETTE SE ALZO h DIMINUISCE LA VELOCITÀ;
- se $\frac{dh}{ds} < 0$ VUOL DIRE CHE IL PELO LIBERO SI STA ABBASSANDO CON UNA PENDENZA MAGGIORE DEL FONDO QUINDI AVRA' UNA CORRENTE ACCELERATA PERMETTENDO SI ABBASSA h E AUMENTA LA VELOCITÀ

III) Per $h > K > h_0$ la corrente risulta veloce, siamo dunque di fronte ad una corrente veloce in un altro a debole pendente. Se sono sotto h_0 il numeratore è negativo, quindi denominatore negativo perché sotto K e $\frac{dh}{ds} = K$ c'è $\frac{dh}{ds}$ è positivo quindi sarà un moto ritardato spostandosi verso valle inizialmente vicino a K e il profilo sarà di moto verticale. Verso monte le h decrescono e in prossimità dello zero il profilo diventa verticale quanto sul fondo \rightarrow verso il fondo le altezze sono sempre più piccole e quindi pari alle scadenze (perdono zero le ipotesi che abbiamo fatto). I profili verso il fondo si indicano con un trattino (difficile dire cosa succede).

Alvei di Fondo Pendente ($h_0 < K$) \rightarrow corrente di moto uniforme è una connivenza di moto uniforme veloce.



I) Per $h > K > h_0$ abbiamo una connivenza ritardata la sola connivenza vinta in un altro a fondo pendente. Il numeratore ed il denominatore sono entrambi positivi e si ha quindi $\frac{dh}{ds} > 0$. Verso monte si trovano valori decrescenti di h che tendono a K rapporto con tangente verticale: profilo risulta ascendente verso il fondo.

Verso valle profondità crescenti aumenta h diminuisce I Num = if, Den \rightarrow 1

F1 \rightarrow [Verso monte \rightarrow VERTICALE; Verso valle \rightarrow ORIZZONTALE]

II) $K > h > h_0$ abbiamo una corrente veloce con altezza maggiore di quella di moto uniforme, il denominatore è negativo e il numeratore è positivo se $\frac{dh}{ds} < 0$ \rightarrow altezza d'acqua scende verso valle, a monte fino allo stato critico è verticale, verso valle scendendo tende ad arrivare all'altezza di moto uniforme

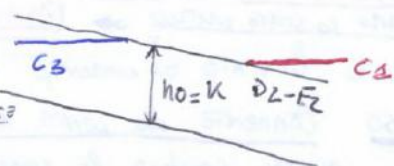
F2 \rightarrow [Verso monte \rightarrow VERTICALE; Verso valle \rightarrow UNIFORME]

III) Per $K > h_0 > h$ abbiamo corrente veloce e den e num negativi quindi il $\frac{dh}{ds} > 0$: moto ritardato \rightarrow a monte va verso un profilo verticale, a valle il profilo avrà lo stesso moto uniforme \rightarrow F3 \rightarrow [Verso monte \rightarrow VERTICALE; Verso valle \rightarrow UNIFORME]

Pendenza pari alla pendenza critica $h_0 = K$ e $if = ic$

profilo C1 con $h > h_0 = K$ caso limite profilo D1 e F1 ascendente

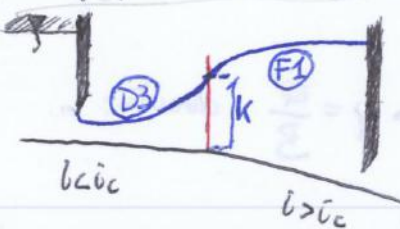
profilo C3 con $h < h_0 = K$ caso limite di D3 e F3



In conclusione \Rightarrow dunque che negli altri a debole pendente il moto uniforme è di corrente lente neanche sempre rapporto verso monte, negli altri a forte pendente lo moto uniforme è di corrente veloce ed è rapporto a valle.

Questo dice che 2 tipi di connivenza \rightarrow leute in cui si ha perturbazione determina uno scostamento che può risalire a monte, invece in me corrente veloce essa non può propagarsi a valle. Allo stato critico mettere sempre verso valle negli altri a debole pendente, verso monte in quelli a forte pendente.

2° CASO CORRENTE DI VELOCITÀ A LENTA → la corrente veloce è a monte, a valle la lenta.
Aveando un altro a debole pendenza a monte l'unica condizione con corrente veloce è il profilo F_1 per roppungere lo stato critico (il moto uniforme è in alto avallé).



Se è di velocità a lenta nel recalo fatto con una forte pendenza l'unico profilo è F_1 in a monte ha lo stato critico ed a valle lo stato uniforme.

La sezione K comanda a monte una corrente veloce ed a valle una corrente lenta.

Cioè che capite nel profilo D_3 a monte non si propaga a valle, ecco che sta nella sezione F_1 a monte non si propaga a valle.

Chi è che mi determina il profilo D_3 è UNA PARATOIA che mi dà una corrente veloce comandata da monte e nel secondo tratto è presente sempre una PARATOIA che mi condiziona a monte la mia corrente essendo situata a valle. Profilo F_1 .

COMANDANO LE 2 PARATOIE → a monte CORRENTE VELOCE, A VALLE CORRENTE LENTA (mi danno profili D_3 e F_1)

Ma quindi il passaggio da veloce a lenta è possibile ma con probabilità nulla

Quindi il passaggio da una corrente dello stato veloce allo stato lento non avviene mai gradualmente ma bensì attraverso una DISCONTINUITÀ cioè in BRUSCO SOLLEVAMENTO

del PELLO LIBERO detto RISALTO IDRAULICO o SALTO del BIDONE (è l'unico modo per dissipare l'energia in più, dissipazioni, e aree Z orizzontali accompagnato da un'imponente

voragine superficiale ad aree orizzontali che assorbe aria preventivamente schiumeggiante

Quando c'è un risalto deve mettere delle strutture di contenimento per non avere condizioni di erosione con energia in eccesso → CONTROLLARE L'EROSIONE

Per studiare il risalto consideriamo un tronco in altro cilindrico compreso fra le sezioni 1 che precede il risalto e una sezione 2 che lo segue alla distanza h_s per ritenerne stabile la linea della corrente

e quindi la distribuzione orizzontale di pressioni.



Applichiamo a questo tronco l'equazione di BALANCE DEL PROFILO DINAMICO:

dove sono costanti PESO, INERTIE LOCALI, FLUSSI DI MOTTO ENTRANTE ED USCENTE = LE FORZE ACCORDANTI, MA MASSIMIZZA LE RESISTENZE nel tratto 1-2 e quindi sono nelle resistenze tra il tratto 1 e tratto 2

siamo in MOTTO PERSISTENTE → NELLE LE INERTIE LOCALI

quindi rimangono le spinte T_{1x} e T_{2x} e i flussi ENTRANTE ED USCENTI (M_1 e M_2)

$$T_{1x} + M_1 = T_{2x} + M_2$$

$$S = T + M$$

⇒ SPINTA TOTALE per chiedersi quanto vale capire dove è il risalto cioè $S_1 = S_2$ nel RISALTO

Secondo è capire dove è il BARICENTRO rispetto al PIANO DEI CARICHI (ASTATICI RELATIVI).

consideriamo una SEZIONE RETTANGOLARE (altezza h e larghezza B con h_0 affidabile del baricentro quindi la spinta vale: $S = \frac{1}{2} \gamma B h^2$ ma $M = \rho Q U$ con $U = \frac{Q}{B}$ quindi $P \frac{Q^2}{B} \text{ altezza } h_0 = \frac{h}{2}$)

1° MEMBRO → VA ALL'INFINITO per h grande e va a zero per h piccolo

$$S = \frac{1}{2} \gamma B h^2 + P \frac{Q^2}{B} \quad \frac{dS}{dh} = \gamma B h - P \frac{Q^2}{B h^2} = 0 \quad \frac{1}{h} = -\frac{1}{h^2}$$

2° MEMBRO → VA ALL'INFINITO per h piccolo e va a zero per h grande

$$h = \sqrt[3]{\frac{Q^2}{g B^2}} = \sqrt[3]{\frac{Q^2}{g}} = K$$

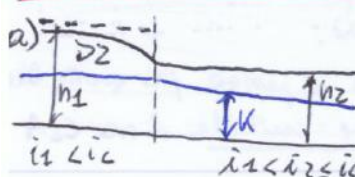
$\frac{Q}{B}$ → FLUSSO PER UNITÀ DI LARGHEZZA q

⇒ IL RISALTO D'ESE LA SPINTA È LA STESSA AVALLE ED A MONTE

I canali di GEORGINA sono in direzione \uparrow oppure \downarrow quindi allontanare o stringere il fiume
→ altezza o larghezza

$$Q = \Delta X \sqrt{Rif}$$

ANALISI QUANTITATIVA DEI PROFILI → cerchiamo di capire cose capaci ai nostri profili



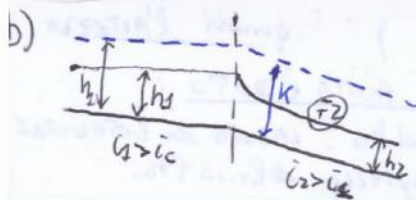
CANALE A DEBOLE PENDENZA seguito da un canale a forte pendenza

CANALE A
PENDENZA
FONTE

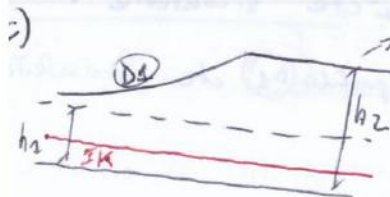
Capire dove c'è il cambiamento → dove mette la condizione al canale.
Condizione a valle se corrente lenta, condizione a monte se corr. veloce

Abbiamo l'altezza critica K (non dipende dal fondo) e altezze di moto uniforme h_1 e h_2 valle → non obbliga corrente lenta quindi la condizione K non influenza tutto che è a valle ma quello che c'è a monte.

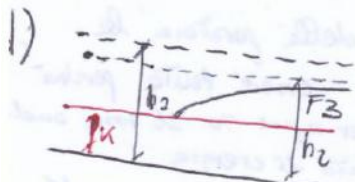
Quindi c'è solo un profilo possibile è il $D2$ seguito da un profilo di moto uniforme
E' intenzionale chi controlla i profili del fiume → chi controlla l'innalzamento o l'abbassamento
dell'acqua (troppe acque a monte oppure poco a valle (ASCIUTTO)).



Il segnale non risale la corrente quindi non ne accorgo che c'è un cambio di pendenza quando ci sono sopra perché avviene in modo repentino. Nel primo tratto veloce non succede nulla. Tutte le volte che il profilo si abbassa cioè vuol dire che la velocità aumenta quindi c'è un problema di trasporto ed erosione e nel profilo si alta velocità diminuisce quindi c'è deposito di MATERIALI → quindi buona difesa.

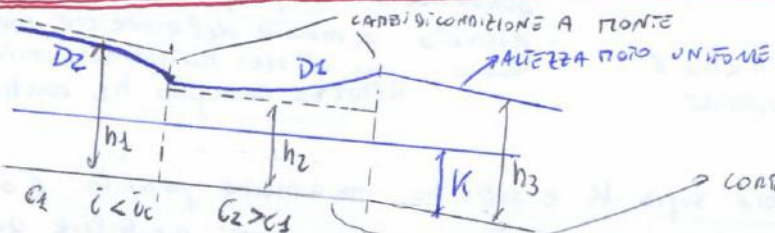


CANALE a debole pendenza seguito da un canale a pendenza minore → corrente lenta influente cioè a monte e mette → profilo D3 corrente ritardata



Profilo F_3 → rappresenta il profilo di un moto uniforme orizzontale.

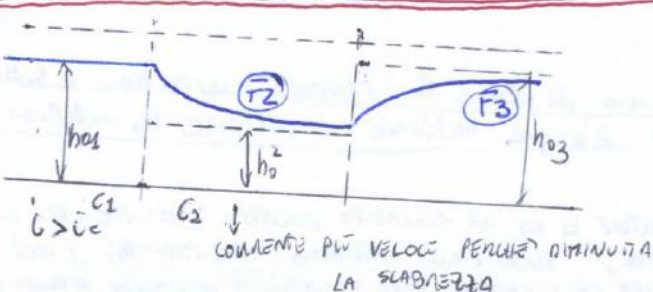
→ CANALE A DEBOLE PENDENZA con tratto INTENZIONALMENTE A SCABEZIA MAGGIORE



Corrente LENTA

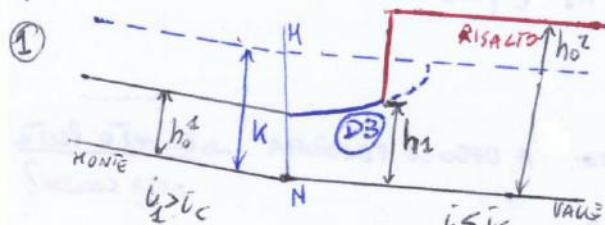
→ CORRENTE PIÙ LENTA POSSIBILE AUMENTANDO LA SCABEZIA

→ CANALE A FORTE PENDENZA con tratto INTENZIONALMENTE A SCABEZIA MINORE

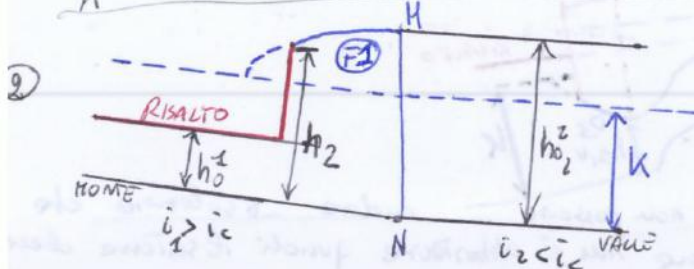


Corrente VELOCI

Studiamo che invece il passaggio brusco dalla pendenza $i_1 > i_2$ alla $i_2 < i_c$ restituisce però immutata la sezione trasversale dell'acqua.



Passaggio di corrente avviene con un RISALTO o SALTO di Bidone



LA NATURA QUALE SCEGLIE delle due ① e ②:

bisogna mettere in gioco le SPINTE!

Se la spinta di monte è maggiore di quella di valle il risalto è a valle

Se la spinta di valle è maggiore di quella di monte il risalto è a monte

La spinta è la somma tra la spinta idraulica e il flusso di pressione. Se le due correnti hanno la medesima spinta e le altezze coniugate sono h_{01} e h_{02} allora si ha il risalto nel cambio di pendenza.

Quando le $S_1 > S_2$ l'altezza $h_0^1 > h_{02}$ e sono 2 altezze coniugate \rightarrow il profilo è di tipo (D3) \rightarrow il cambio di pendenza non risale fino a monte (RISALTO A VALLE PERCHÉ SPINTA DI MONTE MAGGIORA DI QUELLA DI VALLE).

Quando le $S_1 < S_2$ h_0^1 coniugate di $h_0^2 < h_{01}$ allora la spinta spinge il risalto a monte, il profilo è di tipo (F1)

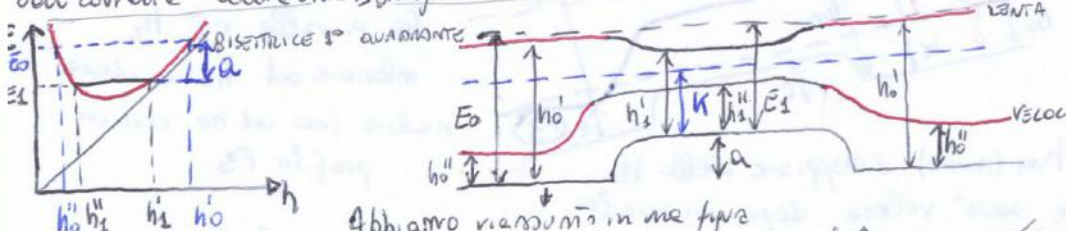
Se spinge la corrente più forte il risalto è a valle, se spinge la corrente più debole da valle il risalto è a monte

Se $S_1 = S_2$, il risalto è nel centro di pendenza, le altezze sono coniugate

COSA CAPITA QUANDO CAMBIA LA GEOMETRIA? QUALCHE CASO DI moto NON LINEARE

Fondo che si ALZA o si ABBASSA.

Quando il fondo si ALZA \rightarrow si ha una SOGLIA DI FONDO di altezza Q \rightarrow albero a debole pendente con corrente lenta e forte dissipazione di energia:

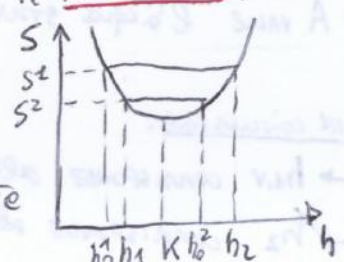


quel che si verifica in un albero a debole e a forte pendente $E_0 \rightarrow$ energia misurata dal fondo dissipativa rispetto al fondo. \rightarrow che $E_L = E_0 - Q$.

La corrente forte pone da h_0'' a h_0' entro quella lenta da h_0 a h_1 . $h_0'' > h_0'$ perché il pelo libero si solleva, Altezza corrente lenta diminuisce $h_0'' - h_0' > Q$, PESO LIBERO DIARRESCA

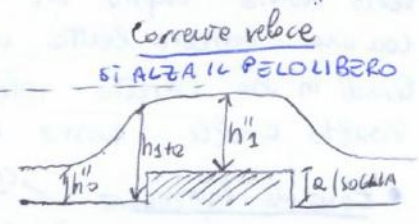
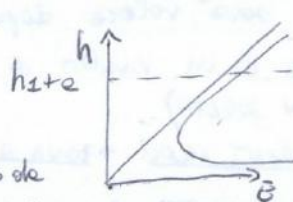
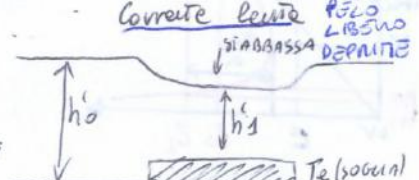
h_0^1 e h_0^2 altezze non uniformi prima di una corrente veloce la seconda di una corrente lenta. \rightarrow abbiamo una causa perturbante a valle non può esercitare le proprie influenze a monte a forza pendente, né a valle a debole.

Le due situazioni: ① corrente veloce fino ad HN dove nel primo caso ha un tutto con profilo DB terminante con il risalto più corrente lenta, nel ② corrente veloce fino ad un certo punto in cui avviene risalto in un altro a forte pendente non raggiunge un profilo F1 fino anche il moto intorno UNIFORME A VALLE



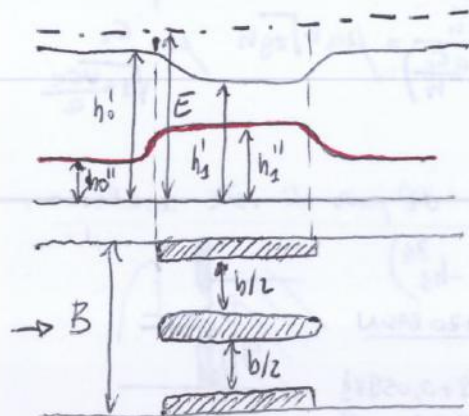
Considerazioni da minima dissipazione di energia.

Corrente lenta PESO LIBERO SIABASSA DIARRESCA



PASSAGGIO PRA LE PILE DI UN PONTE
e veloce in modo progressivamente diverso.
e varia la distanza della linea
avviene l'opposto. L'ISTANTE DISTANZA

⇒ DIMINUISCE LA SEZIONE DI PASSAGGIO



→ $q = \text{PONTATA UNITARIA PER UNITÀ DI LUNGHEZZA}$

$B = \text{LARGHEZZA SEZIONE RETTANGOLARE}$

$h_0' = \text{MOTTO UNIPONTE CORRENTE LENTA}$

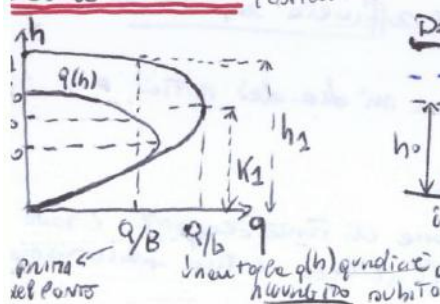
$h_0'' = \text{MOTTO UNIPONTE CORRENTE VELOCE}$

$b < B$ (LARGHEZZA MINIMA)

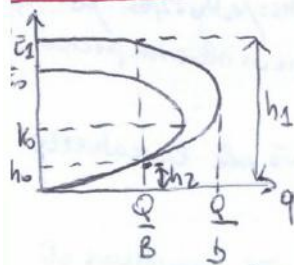
qui dobbiamo riconoscere che l'aumento delle pontata unitaria si attua per la corrente lenta mediante un aumento di velocità al che corrisponde una diminuzione dell'energia potenziale (ENERGIA PIETROVNA). per la corrente veloce una diminuzione dell'energia cinetica che porta ad un aumento dell'area liquida.

→ Se arrivo ad un punto in cui NON BASTA LA PONTATA cioè $\frac{Q}{b} > K_1$ A cui corrente lenta quando l'ENERGIA E NON BASTA PIÙ PER SUPERARE L'OSTACOLO. Quindi per andare oltre l'altezza critica aumento l'energia E) MA IN CORRENTE LENTA E VELOCITÀ CAMBIA

DEBOLE PENDENZA (corrente lento)



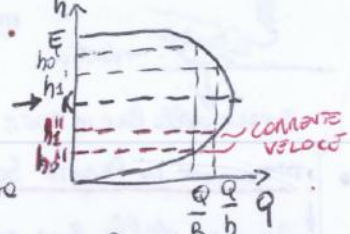
FONTE PENDENZA (corrente veloce)



→ upolare a grande c'è ben sopra in una corrente lenta nelle zolle è costante la PONTATA per unità di lunghezza dei carichi pietrovnici, in questo caso che ora consideriamo B.C.P. VERRÀ LA PONTATA)

→ più le pile sono grosse più la pontata diminuisce più aumenta la velocità

Fissiamo l'energia veriamo la pontata



La PONTATA non può andare oltre l'altezza critica

PONTATA UNITARIA

CRTICA

$$\bullet q = \frac{Q}{B} = \begin{cases} 1 \text{ ALTEZZA CORRENTE VELOCE } h_0' \\ 1 \text{ ALTEZZA CORRENTE LENTA } h_0'' \end{cases} \quad (\text{MOTTO UNIPONTE}) \rightarrow \text{ALTEZZA PENDENZA}$$

$$\bullet q = \frac{Q}{b} \Rightarrow \text{aumento } q \text{ me diminuisce } b \text{ (barorese)}$$

trovo oltre 2 altezze inferiori a quella precedente

avrò un abbassamento del profilo h_0'
non meno che ventino la sezione,
ma nelle correnti veloci il profilo si solle

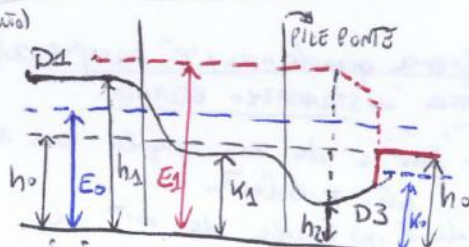
$$[q = q(h, E = \text{cost})]$$

scorre diminuzione energia

Per le correnti veloci altezze $h_0' < h_0''$ per le veloci: $h_0'' > h_0'$

qui dobbiamo riconoscere che l'aumento delle pontata unitaria si attua per la corrente lenta mediante un aumento di velocità al che corrisponde una diminuzione dell'energia potenziale (ENERGIA PIETROVNA). per la corrente veloce una diminuzione dell'energia cinetica che porta ad un aumento dell'area liquida.

→ Se arrivo ad un punto in cui NON BASTA LA PONTATA cioè $\frac{Q}{b} > K_1$ A cui corrente lenta quando l'ENERGIA E NON BASTA PIÙ PER SUPERARE L'OSTACOLO. Quindi per andare oltre l'altezza critica aumento l'energia E) MA IN CORRENTE LENTA E VELOCITÀ CAMBIA

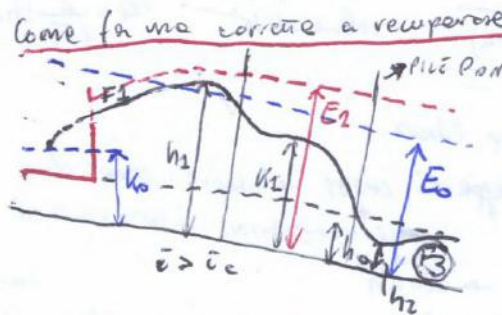


→ h_1 e h_2 corrispondono alla parte per unità di lunghezza prima del punto (2 ALTEZZE)

$$\rightarrow \text{avrò ma } K_2 = \sqrt{\frac{Q^2}{gh^2}} \quad \text{ALTEZZA unitaria compone}$$

→ A monte per avere un'energia E_1 allo stesso livello ma se alto il livello avrò un h_1 maggiore di h_0 con profilo D1

→ AVANZI AVRÒ UN RISALTO perché deve tornare lento.



→ solo aumentando la velocità a volte (ancora più veloce) cioè abbasso il mio livello ed avrò una h_2 compatibile alle chiusure → PROFILO T3 ed a monte avrò una corrente lenta ma se tolle c'era una corrente veloce ⇒ RISALTO (F1) PROFILO PRIMA dell'obstacolo

se conosco la portata → sono capace di calcolare a_{eb} se conosco bene le geometrie

pendente ecc...

Nel mondo reale le altezze si misurano con le stade o con scale ad età usate che s'espanso in alto che si riflette sulla sup. dell'acqua e attraverso il tempo che impiega per tornare nella sede si calcola l'altezza

Queste scale di deflusso vale per moto uniforme e vale per moto permanente vero → è complicato misurare la scala di deflusso e quindi ne s'è moto vero come la stade e le scale di deflusso → si riforma: centri

→ calcolare a_{eb} → se non capace di dire quale pendente e quale geometrica → $b \approx \frac{3}{2}$

Come misuro la portata? integrale velocità in una determinata area



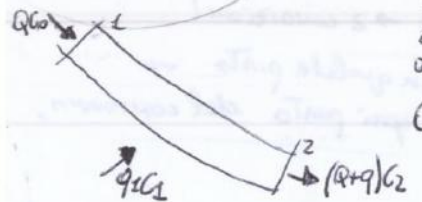
$$Q = \int_A u dA = \int_0^B \int_0^h u dy dh$$

→ è complicato da quanto è complicato la A e l'alto → isotachie → curve ad upole ribattez.

La velocità è un po' più grande verso il centro e più lenta nelle zone più esterne.

Quando la portata è quella vera? In infiniti punti bisogna decidere quando fermarsi → quando tutto si prende delle pressioni (impegno economico). Si costruisce uno profilo e si calcola in più punti la velocità e la portata in infiniti punti. Si mette per calcolare la velocità un mulinello dopo il numero di giri dello strumento e così si conosce velocità avendo più giri.

METODO CHIMICO (CENN) → le particelle di sostanza vengono sparse nella sezione e compiono le mie sezioni in tutte che vanno. La velocità → misure le concentrazioni e capire queste particelle si muovono nella corrente o quindi vedo l'effetto del campo di moto (non la velocità in un punto).



$$Q C_0 + q C_1 = (Q+q) C_2 \rightarrow Q = \frac{C_2 - C_1}{C_2 - C_0} q$$

Sostanzia con concentrazione C_0 inserisco una portata q con una concentrazione C_1 e la sometto nel corso d'acqua grazie al campo di moto si mischia.

$$\text{Se } C_0=0 \quad Q = \left(\frac{C_1}{C_2} - 1 \right) q$$
$$\text{Se } C_1 \gg C_2 \quad Q = \left(\frac{C_1}{C_2} - \frac{1}{C_2} \right) q = \left(\frac{C_1}{C_2} - 1 \right) q$$

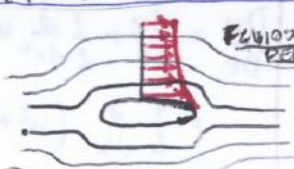
Il voto C_2 per le leggi di conservazione della massa → massa entrante = massa uscita → so che la vena esterna del mio sistema $Q C_0 + q C_1$ è meno uscita $(q+q) C_2$ quindi vicino Q . Dalla sezione $1/2$ la mia portata diminuisce di molto → la concentrazione C_1 e più grande di C_2 → quindi si è diluita di molto $C_1 \gg C_2$ ed otengo una formula ancora più semplice.

ZONA EPIDEICA → zone esterne del fiume valutano la qualità del fiume → le pareti non sono PARETI IMPENETRABILI.

Moti A POTENZIALE

CASO 2) FLUIDO REALE

SCIA se il fluido è viscoso la prima particella sul corpo dove entra fiume → le due figure sono simili. STRATO LIMITE come dove sono fondamentali le proprietà di viscosità → ZONA DI STRATO LIMITE



CASO 4) Può entrare un qualsiasi corpo investito da una corrente. A me interessa l'interruzione fluido → struttura

Non ci sono sforzi di natura tangenziale e quindi non ho dissidi particelli di energia. Le traiettorie vicino al corpo devono per la rettilinee la velocità può aumentare quando incappa al corpo. Quando mi avvicino alla parete entro in giro la viscosità.

* Zona di distacco dello strato limite e si chiama delle sue. Quanto è grande questo strato?

è questo strato perché i suoi effetti scatenano piccoli rispetto a tutto il resto.

→ LO SPESSEZZO $[S \approx \sqrt{\frac{L \cdot V}{\mu_0}}]$ supponiamo che questo corpo lungo un metro, la viscosità dell'acqua $\nu = 10^{-6}$

→ DIVISO IN ZONE → ① all'interno dello strato dove il fluido è viscoso e ② dove fuori a questo fluido è perfetto → perché più resistere → ZONA STRATO LIMITE (ogni punto).

Dentro lavora con NAVIER e fuori che non c'è strato limite uso EULER, ma posso anche studiare cose accade all'interfaccia e capisco cose capita sia dentro che fuori.

→ APRESO IL perete è vero e lavorare con i fluidi allo strato limite, una volta che no le rotazioni non esistono calcolo le tensioni e poi le spinte → continuare

$$\rightarrow \text{quindi } \left(z + \frac{P}{\rho} + \frac{(U^2)}{2g} + \frac{1}{g} \frac{\partial \phi}{\partial t} \right) = 0 \Rightarrow \text{NON MI PREOCCUPO PIÙ DI UNA SINGOLA TRAETTORIA}$$

(quindi tutto il discorso di corrente è da me interrotto)

$$H = z + \frac{P}{\rho} + \frac{(U^2)}{2g} + \frac{1}{g} \frac{\partial \phi}{\partial t} = \text{costante} \Rightarrow \text{IN UN FLUIDO PESANTE IL CAMPO TOTALE SI CONSERVA IN TUTTI I PUNTI DEL RIS. FLUIDO} \Rightarrow \text{costante in tutti i punti.}$$

COSTANTE DAPPENSIUTO

Lo mi basta conoscerla in un punto per sapere come si comporta in un sistema

Quando so come sono fatte $u, v, w \rightarrow$ mero campo di moto \rightarrow dopo che ho trovato $(U^2)^2$ mi interessa la distribuzione di pressioni: $\Rightarrow P$ come funzione PIANE per le premesse.

\rightarrow POTENZIALI se $\Delta z \phi = 0$ mancano le condizioni al contorno.

\rightarrow Per i profili \rightarrow devo approssimare e dire che i miei potenziali sono stati piani ($z=0$)

$\phi = \phi(x, y, t)$ nuova grandezza che introduce ψ legata al campo di moto perché:

$$u = \frac{\partial \psi}{\partial x} = \frac{\partial \psi}{\partial y} \quad \psi(\text{psi}) \text{ per cui sono vere queste legg. (LINEARITA')}$$

$$v = \frac{\partial \phi}{\partial y} = -\frac{\partial \psi}{\partial x}$$

Capire che curve dove ϕ è costante \rightarrow quindi curve ISOPOTENTIALI (POTENZIALI COSTANTI)

Quindi $\psi = \text{cost}$ \rightarrow prendo una generica curva $\psi = \text{cost}$

$\frac{V}{U} \Rightarrow$ PENDENZA locale della curva quindi ψ è una curva in cui punti per punti tangente al vettore velocità

Quindi ISOPSI sono curve tangenti alle componenti: rettangoli sono traiettorie che fanno le mie particelle quindi correnti (FUNZIONE PSI = FUNZIONE DI CORRENTE)

$$\psi = \psi(\text{cost}) \quad \downarrow \psi = 0$$

$$d\psi = \frac{\partial \psi}{\partial x} dx + \frac{\partial \psi}{\partial y} dy = 0$$

mettendo al primo membro $\frac{\partial \psi}{\partial x}$ so che

$$\frac{\partial \psi}{\partial x} \Big|_{\psi = \text{cost}} = -\frac{\partial \psi}{\partial x} = \frac{V}{U}$$

\rightarrow Per capire come re il campo di moto reggono in termini di ψ e capire le traiettorie del campo rispetto con ψ .

Cos'è questa psi? Quindi so che la relazione tra la velocità e ψ è la portata Q (PORTATA PER UNITÀ DI SPESONE - RETTO PIANO)

$$dq = \vec{u} ds \rightarrow \text{PORTATA ELEMENTARE}$$

$$ds = dy \hat{i} - dx \hat{j}$$

ma no che la PORTATA TOTALE è

$$q_{1-2} = \int_1^2 dq = \int_1^2 u dy - v dx = \int_1^2 \frac{\partial \psi}{\partial y} dy + \frac{\partial \psi}{\partial x} dx = \int_1^2 d\psi = \psi_2 - \psi_1$$

\rightarrow Noi abbiamo calcolato la portata quindi: $q_{1-2} = \psi_2 - \psi_1$ differenza tra le 2 funzioni di corrente.

Come me $\frac{dq}{ds} \Rightarrow$ però con area complessa sarà

difficile e più semplice utilizzando FUNZIONI DI CORRENTE.

Esiste un modello che mi descrive le funzioni corrente? Miei invarianti \rightarrow componenti del moto = 0 direz.

quindi $\frac{\partial v}{\partial x} - \frac{\partial u}{\partial y} = 0$ MOTORE PIANO. So che $\frac{\partial v}{\partial x} - \frac{\partial u}{\partial y} = 0$ sostituisco la funzione di corrente.

$\frac{\partial^2 \psi}{\partial x^2} + \frac{\partial^2 \psi}{\partial y^2} = 0$ moltiplico per (-1) scopro che ψ è una funzione armonica

$$\Delta \psi = 0$$

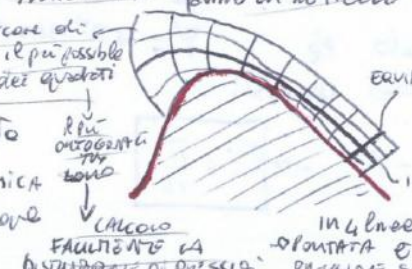
Noi abbiamo parlato di ISOPI e ISOPHI \rightarrow LINEE EQUIPOVENTIALI E LINEE DI CORRENTE (ISOPI)

Cose sono le linee ISOPI? cioè dove $\phi = 0$ $d\phi = \frac{\partial \phi}{\partial x} dx + \frac{\partial \phi}{\partial y} dy = 0$

$$\frac{\partial \phi}{\partial x} \Big|_{\phi = \text{cost}} = -\frac{\partial \phi}{\partial y} = \frac{U}{V}$$

Questo avrò corrente secca in presenza ISOMETRICA fanno un RETTANGOLO che si chiama RETE IDRODINAMICA

Se i fondi IMPENETRABILI \rightarrow devo capire se la funzione d'acqua è così di conseguenza l'acqua sottostante attraversando le reti IDRODINAMICHE lega a corrente le traiettorie delle macchie sotto varie



le linee EQUIPOVENTIALI e le linee di corrente sono perpendicolari fra loro. q_1, q_2, q_3, q_4 sono le portate e $1/U$ del rapporto

In funzione del valore di n mi rappresenta il moto all'interno di spigoli

Se $n > 1$ abbiamo moto all'interno di spigoli

Se $n < 1$ abbiamo moto attorno a degli spigoli

Con una semplice funzione ($f = a z^n$) riusciamo a descrivere moti molto difficili.

Disegnando le linee di corrente riusciamo a vedere dove la corrente va più piano o più veloce (in base a proporzionalità delle proprie).

Sopra che vicino allo spigolo le velocità sono più basse e quindi negli spigoli ci saranno delle zone di deposito se ho: $f(z) = a z^n \frac{df}{dz} = an z^{n-1}$

La parte reale rappresenta la u e quelle immaginarie le v e avremo così le componenti delle velocità



Sulle facce superiori la velocità aumenta e quindi in quella direzione (\leftarrow) la pressione diminuisce cioè

$$\frac{dp}{ds} < 0$$

Sulle facce inferiori invece per Bernoulli poiché la v diminuisce la pressione (\rightarrow). Quindi nelle superiori avremo un'azione di premiare favorendo e in quelle inferiori avverso.

Sappiamo dire che la velocità in quei punti è quindi automaticamente uguale la minima pressione a Bernoulli:

ESEMPIO

$$f(z) = \frac{m}{2\pi} \ln z \quad \phi = \frac{m}{2\pi} \ln z \quad \Psi = \frac{m}{2\pi i} \theta = \text{cost} \rightarrow \theta = \text{cost} \Rightarrow \text{rette che passano per l'origine dei piani.}$$

Quando le linee corrono le chiamiamo pozzi, quando divergono sorgente.



Che componenti avranno le velocità di queste rette?

Le velocità saranno tutte di origine radiale poiché le linee equipotenziali erano circonferenze. In particolare la componente radiale (distanza dal centro) sarà:

$$U_r = \frac{d\phi}{dr} = \frac{m}{2\pi} \frac{1}{z}$$

Il recupero del segno di m sappiamo è un pozzo o UNA SORGENTE.

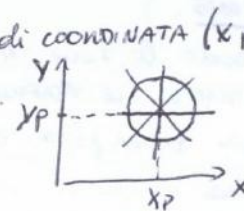
Se la circonferenza ha raggio r la portata complessiva che passa attraverso tutta la circonferenza sarà

$$q = 2\pi r U_r = 2\pi r \frac{m}{2\pi} \frac{1}{r} = m$$

Quindi m ha un significato fisico ben preciso cioè è la portata che tira via o che innietta nel mio pozzo.

ESEMPIO $f(z) = \frac{im}{2\pi} \ln(3 - 3p)$ dove p è un qualsiasi punto di coordinata (x_p, y_p)

Questa funzione mi rappresenta un pozzo traslato di x_p e y_p .



ESEMPIO $f(z) = -i \frac{\Gamma}{2\pi} \ln z$ dove $\Gamma = \text{cost}$

ovviamente usare le coordinate polari dove: $\Psi = \frac{\Gamma}{2\pi} \ln r = \text{cost}$ cioè $r = \text{cost}$ = CIRCONFERENZE

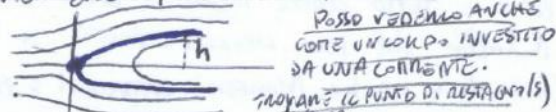
Le a differenza del primo le potenziali sono delle rette e le traiettorie sono delle circonferenze. Queste strutture richiamano rot. c.

Γ in questo caso è la circolazione cioè l'indice che mi dice come ruote, l'uno rotice.

ESEMPIO $f(z) = U_00 z + \frac{m}{2\pi} \ln z$ È una fuga indisturbata con un pozzo.

Le linee di corrente saranno $\Psi = U_00 r \sin \theta + \frac{m}{2\pi} \theta$.

È una rettifica posta al centro degli omi da cui esce un fluido che è investito dallo "FATTO INDISTURBATO". Posso trovare le linee di corrente che neppure esce dal pozzo da quella che lo investe con velocità U_00 .

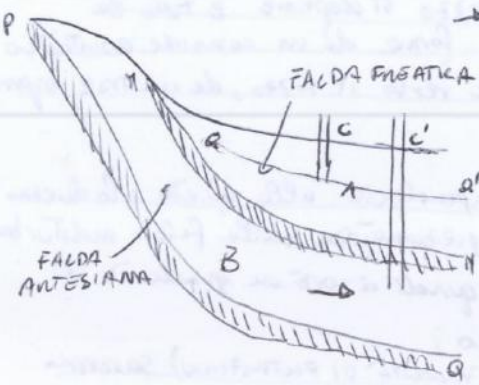


POSSO VEDERLO ANCHE
COME UN CORPO INVESTITO
DA UNA CORRENTE.
SARÀ IL PUNTO DI RESTAURAZIONE

Il Pozzo o falso piatto è una formazione permeabile, l'acqua non ha accesso interno ma solo la parte inferiore detta LETTO delle FALDA, superficialmente c'è aria quando ci sono punti in cui è presente la pressione atmosferica \rightarrow SUPERFICIE PIATO PIATTO

I LIVELLI negli acquiferi dipendono dalle Acque di FILTRAZIONE e delle PIEGHE ed altri SCARPI AMBIENTALI tra l'atmosfera e il terreno.

Dove infine dei tubi ho bisogno che si creino delle J per far sì che l'acqua esca dal mio pozzo. Capire lo profondo per calcare la portata che tira fuori dal misterioso in fondo dell'abbonamento.



\rightarrow Falda freatica e falda artesiana al di sotto dello strato piano composto che costituisce il letto delle palee freatiche e il tetto della artesiana. La curvatura può essere ascendente o discendente della superficie P.R. dove affiora la formazione permeabile.
C'è due pozzi UNO PIATTO (C) e l'altro ANTESIANO (C') nel primo si tira l'acqua come pompa sotto la sezione a-a' invece nel pozzo artesiano l'acqua risale fino al piano composto se c'è un inquinante si fa un pozzo per cercare di tirarlo via.

LEGGE Tra ENERGIA e VELOCITÀ

In una falda in movimento, nel campo idraulico di filtrazione, la velocità del liquido assume direzioni e moduli variabili punto a punto. Occorre avere conoscenza della portata che filtra attraverso una sup. normale al movimento: rapporto V fra tale portata e l'area delle sop considerate viene detta VELOCITÀ DI FILTRAZIONE

$$V = \frac{Q}{A}$$

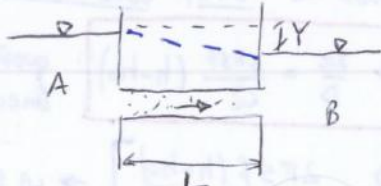
Se il tubo viene inserito tra due sbaratoi A e B in cui viene mantenuto in displazamento Y filtro ma portata Q

Alcuni di Darcy determina per via sperimentale la legge tra velocità del fluido e portata di filtrazione

$$V = f J$$

VELOCITÀ

LEGGE tra velocità e portata



PERMEABILITÀ MODULO DI DANCOFF $f = 925 \frac{\text{cm}}{\text{s}}$
rispetto a quali diversi ci vuole maggiore diversità

Si bisogna capire anche le caratteristiche dei pori

Nelle acque sotterranee in terreni omogenei quindi che f è una costante.

MOTI LENTI \rightarrow proporzionalità diretta tra V e J quindi il moto è laminare \rightarrow Moti di filtrazione INERTIALI può non essere laminare ma ci interessa \rightarrow mentre le velocità sono uno stimolo molto preciso che non esiste ancora troppo complicato.

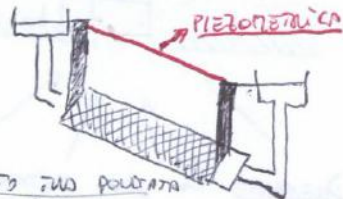
Darcy per trovare e capire quelle velocità ha creato uno strumento.

Filtro \rightarrow comprende le velocità di filtrazione ed è una velocità media

non fa distinzione se c'è un tubo o un guscio

$$V = \frac{Q}{A}$$

RAPPORTE TRA PORTATA E AREA



Se quindi, considerando occupano tutta lo spazio delle velocità che serve per il mio tubo

A piezometrica si trova in quel punto soli costante perché non c'è differenza tra un punto e l'altro del mio intorno

Per ogni motivo del mio intorno indicò che piezometrica senza riuscire comprendere cosa succede nei punti del filtro.

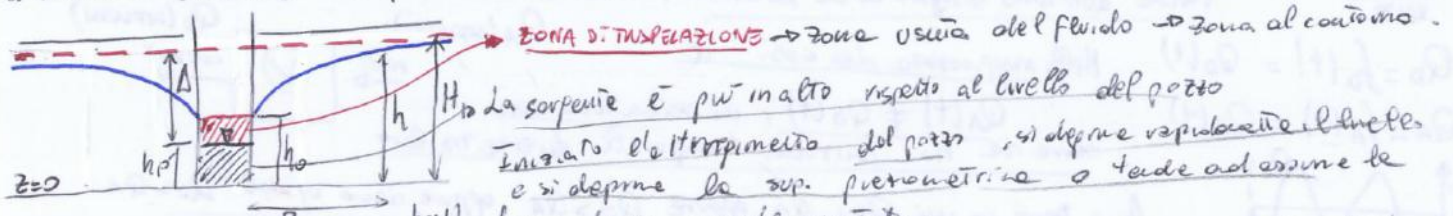
Darcy nasconde la difficoltà geometrica di cui considero \rightarrow passando tra geometria retto e Darcy si è costruito una legge non bidimensionale \rightarrow poi si può parlare dicendo che si muore in 3 direzioni.

$$V = -f \operatorname{grad} h \quad (z + p) \quad \text{velocità legata tra } f \text{ e gradiente (direzioni)} \quad \text{quindi: } V = -\operatorname{grad} (f h) \Rightarrow \text{dove } f \text{ è UN POTENZIALE}$$

$\rightarrow \frac{dh}{ds}$ sono gradienti di h nelle direzioni del moto

$\Rightarrow f \cdot h = \phi$ se nello fluido di ϕ di fluido è una costante $\Delta z \phi = 0 \Rightarrow \Delta z f \cdot h = 0 \Rightarrow \Delta z h = 0$

ATTINGIMENTI DA FALDE FREATICHE → la m.a. piezometrica e la superficie libera sono ferme, siamo pensati che in tubo adm. verso d'acqua, è più difficile perché non conosco la condizione al contorno dove c'è la pressione atmosferica, non so posizionare sup. libera.



Si ha un livello (h_p) più basso di h_0 in cui c'è una fonte di infiltrazione del pozzo fra i livelli h_0 e h dove il liquido sbocca dalle falde nell'atmosfera. (sup. infiltrazione)

E' difficile conoscere il punto dove c'è la zona di infiltrazione perché non conosco la sup. libera dove arriva e come funziona, le mie isopiezometriche non sono come nelle ANTESIANE che sono cilindri perché qui ci sono componenti sia orizzontali sia verticali quindi dovranno curvare le isopiezometriche perché ci sono componenti verticali, ma però non conosco le isopiezometriche non conosco le velocità e non conosco la sup. libera. → è stato risolto con il LAPLACIANO perché solo troni di FELINERONI cioè $\nabla \cdot \mathbf{F} = 0$: A POTENZIALE

IPOTESI DUPUIT - TOUCHARD $\rightarrow [h_p = h_0]$ (a ipotesi), la sup. di infiltrazione non varia → è accettabile se il profondo non è molto grande → FALDE INOLTRATE con grandezze piccole. (a ipotesi) è che le velocità abbiano solo componenti orizzontali (non può verticale), le isopiezometriche sono piane e l'altezza coincide con l'altezza h di sup. libera. Ricordiamo → non c'è frangia, CAPILLARE (solo linea retta di separazione)

→ CURVA DI RAPPRESENTAZIONE CALCOLATA (SUP. EQU. POT) → la portata può avere delle sup. ZURH per le velocità di ogni singola particella $F \cdot J \frac{dh}{dr}$ $\rightarrow Q = 2\pi R h f \frac{dh}{dr} \Rightarrow h \cdot dh = \frac{Q}{2\pi R} dr \Rightarrow$ Per R dire diretta in R grande $\Rightarrow R \ggg$ lontananza del pozzo $\frac{1}{2}(h^2 - h_0^2) = \frac{Q}{2\pi R} \ln \frac{R}{R-h_0}$ (INDICE DI UN LOGARITMO) LONTANANZA POZZO

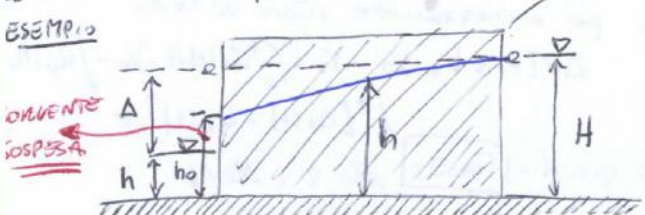
sostituendo $Q = \pi R \frac{\Delta(2H-\Delta)}{\ln(2R-\ln\Delta)}$ dopo la portata calcola correttamente del pozzo e dell'abbondamento al contorno

tell'ammasso ANTESIANO non c'è niente da scrivere quindi c'è solo un gioco di pressioni differente di tensione quindi delle piezometriche, differente di tensione quindi le velocità con cui si propone questa variazione di pressione è pari a quelle delle luci quindi il transitorio è molto più veloce nell'acqua rispetto al freatico (che si dice srotolare).

1951 → CHANNY ha dimostrato che la formula è esatta se al pozzo ci ho netto h_p .

Differenza con gli ANTESIANI nel freatico abbiamo trovato una relazione lineare tra portata e ABRASSAMENTO.

Come misura la $f \rightarrow$ PROFILI DI CAMPO



Se c'è una prena ci può essere un invasione di FALDA:

Sup. libera → applicano DUPUIT - TOUCHARD e queste verticali trascurabili (isopiezometriche piane alti $h-1$)

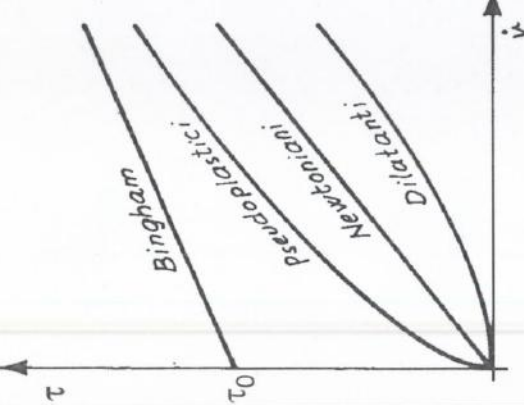
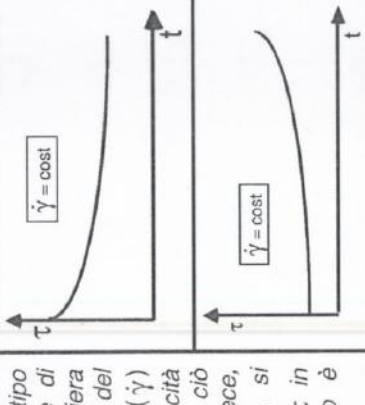
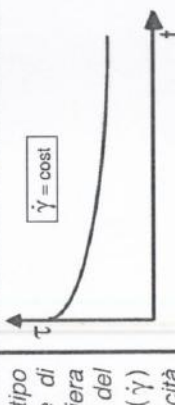
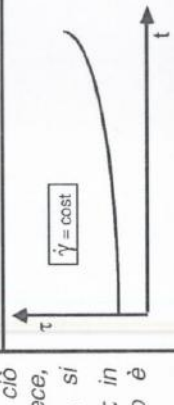
$$q = h \cdot 1 f \frac{dh}{dr} \rightarrow \text{PARABOLA di DUPUIT - TOUCHARD}$$

$$h^2 - h_0^2 = \frac{2q}{f} \times r \times x = L \quad h = h_f \quad q = \frac{f}{2L} \Delta(2H-\Delta)$$

$$q = f(\Delta^2) \text{ Funzione del QUADRATO DI } \Delta$$

I FLUIDI NON NEWTONIANI

5

Classi e categorie di fluido	Equazioni e curve reologiche	Comportamento
FLUIDI PLASTICI ALLA BINGHAM <ul style="list-style-type: none"> Pasta dentifricia o alcune vernici contenute in tubetti deformabili Bolaccia di cemento per iniezioni Fanghi per trivellazione a rotazione Fanghi di fogna 	$\tau = \tau_0 + \mu_p \dot{\gamma}$ in cui: τ_0 = sforzo tangenziale sterile μ_p = viscosità plastica o coeff. di rigidità	La sostanza non si deforma finché lo sforzo tangenziale è inferiore a τ_0 . Quando questo sforzo viene superato in qualche punto, si ha un repentino cambiamento e il fluido si comporta come quello newtoniano.
FLUIDI PSEUDOPLASTICI <ul style="list-style-type: none"> Sospensioni di particelle assimmetriche Soluzioni di polimeri a molecola molto allungata (derivati della cellulosa, sostanze macromolecolari) 	$\tau = k \dot{\gamma}^n$ $n < 1$ 	Poiché la "viscosità apparente" $\mu_a = \tau / \dot{\gamma} = k \dot{\gamma}^{n-1}$, essendo $n < 1$, diminuisce al crescere della velocità di deformazione, il fluido presenta una forte resistenza al moto per piccole velocità, che va diminuendo man mano che il moto si fa più veloce.
FLUIDI DILATANTI <ul style="list-style-type: none"> Sospensioni di materiale solido polverulento in un liquido, con contenuto solido molto elevato 	$\tau = k \dot{\gamma}^n$ $n > 1$ 	Al contrario di quanto avviene per i fluidi pseudoplastici, μ_a aumenta con la velocità di deformazione. Quindi più grandi sono le velocità di scorrimento tra le particelle, più elevate divengono le resistenze al moto.
FLUIDI TIXOTROPICI <ul style="list-style-type: none"> Vernici e smalti coprenti, all'atto dell'applicazione con pennello 	$\tau = \text{cost.}$ 	Lo sforzo tangenziale diminuisce gradualmente nel tempo, tendendo a un valore limite, in corrispondenza del quale il fluido si comporta come newtoniano. Al cessare dello sforzo, il fluido torna altamente viscoso.
FLUIDI REOPPECTICI <ul style="list-style-type: none"> Sospensioni di bentonite Alcune soluzioni colloidali 	$\tau = \text{cost.}$ 	Si verifica l'opposto che nei fluidi tixotropici, cioè gli sforzi tangenziali crescono nel tempo, fino a diventare certe volte grandissimi. Il fluido "indurisce scorrendo", finché finisce per assomigliare ad un solido.
FLUIDI ELASTOVISCOSSI <ul style="list-style-type: none"> Certe emulsioni o sospensioni di un liquido newtoniano in un altro Alcuni bitumi 	<i>Il comportamento reologico è assai complesso e in generale può esprimersi con una relazione del tipo:</i> $F(\tau, \dot{\tau}, \ddot{\tau}, \dots; \gamma, \dot{\gamma}, \ddot{\gamma}, \dots) = 0$	Le sostanze così classificate presentano comportamenti assai diversi di fronte alle deformazioni. In esse prevalgono gli effetti viscosi tipici dei liquidi, ma possono anche alcune proprietà elastiche tipiche dei solidi, per cui non sarebbe lecito parlare di fluidi in senso stretto.